

Plan du CoursI Equations de la dynamique gravitationnelle

- 1) Équations du mouvement
- 2) Solutions self-similaires
- 3) Conservation des paires

II Stable-clustering ansatz

- 1) Stable-clustering ansatz
- 2) Invariance d'échelle + stable-clustering
- 3) Généralisation
- 4) Hamilton et al.

III Description statistique

- 1) Fonctions génératrices
- 2) Modèle Balian-Schaeffer (1989)
- 3) Modèles en arbres
- 4) EPT
- 5) Logarithme
- 6) HEPTH

IV Modèle de halos

- 1) Collage sphérique
- 2) Press-Schechter
- 3) Bias des halos
- 4) Profils de densité
- 5) Fonction de corrélation
- 6) Spectre de puissance
- 7) Galaxies
- 8) Distribution des vitesses

V Hiérarchie BBGKY et modèles hiérarchiquesVI Références

8)

I.1) Équations du mouvement

- * En coordonnées physiques (\vec{x}, \vec{v}, t) on a dans la limite continue:

$$\dot{\vec{x}} = \vec{v}, \quad \dot{\vec{v}} = -\frac{\partial \phi}{\partial \vec{x}} = -\nabla \phi, \quad \Delta_x \phi = 4\pi G \rho_n - \Lambda \quad \rho_n: \text{densité physique}$$

Fonction de distribution dans l'espace des phases $f(\vec{x}, \vec{v}, t)$, $\rho_n(\vec{x}, t) = \int d\vec{v} f(\vec{x}, \vec{v}, t)$

L'équation de continuité pour f s'écrit: $\frac{\partial f}{\partial t} + \nabla_{\vec{x}, \vec{v}} \cdot (f \dot{\vec{x}}, \dot{\vec{v}}) = 0$

$$\text{soit: } \frac{\partial f}{\partial t} + \frac{\partial}{\partial \vec{x}} (\dot{\vec{x}} f) + \frac{\partial}{\partial \vec{v}} (\dot{\vec{v}} f) = 0, \quad \frac{\partial f}{\partial t} + \vec{v} \cdot \frac{\partial f}{\partial \vec{x}} - \frac{\partial \phi}{\partial \vec{x}} \cdot \frac{\partial f}{\partial \vec{v}} = 0 \quad (\text{Navier})$$

- * On se place en coordonnées ~~conservant~~ comobiles:

$$\vec{x} = \frac{\vec{r}}{a}, \quad \vec{p} = a^2 \dot{\vec{x}}$$

$$\text{Donc: } \dot{\vec{x}} = \frac{\vec{p}}{a^2} \quad \text{et: } \dot{\vec{v}} = \dot{\vec{r}} = \dot{\vec{x}} + \dot{a} \vec{x} = \frac{\vec{p}}{a^2} + \dot{a} \vec{x} = \frac{\vec{p}}{a^2} + \frac{\dot{a}}{a} \vec{x}$$

$$\dot{\vec{v}} = \frac{\dot{\vec{p}}}{a^2} - \frac{\dot{a}}{a} \frac{\vec{p}}{a^2} + \ddot{a} \vec{x} - \frac{\dot{a}^2}{a^2} \vec{x} + \frac{\dot{a}}{a} \left(\frac{\vec{p}}{a^2} + \frac{\dot{a}}{a} \vec{x} \right) = \frac{\dot{\vec{p}}}{a^2} + \frac{\ddot{a}}{a} \vec{x}$$

$$\dot{\vec{p}} = a \dot{\vec{v}} - \dot{a} \vec{x} = -a \nabla_x \phi - \dot{a} \vec{x}$$

$$\text{On définit: } \underline{\phi = \varphi + \frac{2\pi}{3} G \bar{\rho}_n r^2 - \frac{1}{6} a^2}$$

$$\nabla_x^2 \phi = a \nabla_x^2 \phi = \nabla_x^2 \varphi + \frac{4\pi}{3} G \bar{\rho}_n a \vec{n} - \frac{1}{3} a \vec{n}$$

$$\Delta_x \phi = a^2 \Delta_x \phi = \Delta_x \varphi + 4\pi G \bar{\rho}_n a^2 - \Lambda a^2 \quad \text{ou} \quad \Delta_x \phi = 4\pi G \frac{a^2}{3} \bar{\rho}_n - \Lambda a^2$$

$$\Delta_x \varphi = 4\pi G a^2 (\rho_n - \bar{\rho}_n) = 4\pi G a^2 \bar{\rho}_n \delta = \frac{4\pi G}{a^2} \bar{\rho}_n \delta \quad \bar{\rho}_n = \frac{\bar{\rho}_x}{a^3}$$

$$\dot{\vec{p}} = -a \nabla_x \phi - \dot{a} \vec{x} = -\nabla_x \varphi - \frac{4\pi G}{3} \bar{\rho}_n a \vec{x} + \frac{1}{3} a \vec{n} - \dot{a} \vec{x}$$

$$\dot{\vec{p}} = -\nabla_x \varphi - a \vec{x} \left[\frac{\ddot{a}}{a} + \frac{4\pi G}{3} \bar{\rho}_n - \frac{1}{3} \right]$$

De l'éq. de Friedmann est: $\begin{cases} \ddot{a} = -\frac{4\pi G}{3} \bar{\rho}_n a + \frac{1}{3} a \\ \dot{a}^2 = \frac{8\pi G}{3} \bar{\rho}_n a^2 - \frac{c^2}{R^2} + \frac{1}{3} a^2 \end{cases}$

Donc: $\dot{\vec{p}} = -\nabla_x \varphi$

3)

Donc l'éq. de continuité s'écrit,

$$\left\{ \begin{array}{l} \frac{\partial f}{\partial t} + \frac{\vec{p}}{a^2} \cdot \frac{\partial f}{\partial \vec{x}} - \vec{\nabla} \varphi \cdot \frac{\vec{f}}{p} = 0 \\ \Delta \varphi = \frac{4\pi G}{a} \rho \end{array} \right. \quad \delta = \frac{e^{-\varphi}}{p}, \quad \rho = \int f(\vec{x}, \vec{p}, t) d\vec{p} \quad (\text{condition})$$

→ système Vlasov-Poisson.

$$\text{Force: } \vec{F}(\vec{x}, t) = - \frac{\partial \varphi}{\partial \vec{x}} = \frac{e}{a} \int d\vec{x}' \frac{\vec{x}' - \vec{x}}{|\vec{x}' - \vec{x}|^3} [\rho(\vec{x}') - \bar{\rho}] = \frac{e}{a} \int d\vec{x}' \rho(\vec{x}') \frac{\vec{x}' - \vec{x}}{|\vec{x}' - \vec{x}|^3}$$

Donc on peut aussi l'écrire:

$$\left\{ \begin{array}{l} \frac{\partial f}{\partial t} + \frac{\vec{p}}{a^2} \cdot \frac{\partial f}{\partial \vec{x}} - \frac{\partial \varphi}{\partial \vec{x}} \cdot \frac{\vec{f}}{p} = 0 \\ \Delta \varphi = \frac{4\pi G}{a} \bar{\rho} \delta = \frac{4\pi G}{a} p \left(\int f d\vec{p} - \bar{\rho} \right), \quad \vec{F} = - \frac{\partial \varphi}{\partial \vec{x}} = \frac{e}{a} \int d\vec{x}' d\vec{p}' f(\vec{x}', \vec{p}') \frac{\vec{x}' - \vec{x}}{|\vec{x}' - \vec{x}|^3} \end{array} \right.$$

I29) Solutions self-similaires

Dans le cas d'un univers Einstein-de Sitter, $\Omega_m=1$, $a \propto t^{2/3}$, il n'y a pas d'échelle particulière. Dans ce cas, le système Vlasov-Poisson admet des solutions self-similaires:

$$f(\vec{x}, \vec{p}, t) = t^{-3\alpha-1} \hat{f}\left(\frac{\vec{x}}{t^\alpha}, \frac{\vec{p}}{t^{\alpha+\frac{1}{3}}}\right)$$

C'est à dire que l'on a la symétrie: invariance d'échelle:

$$f(\vec{x}, \vec{p}, t) \rightarrow f_\lambda(\vec{x}, \vec{p}, t) = \lambda^{-3\alpha-1} f\left(\frac{\vec{x}}{\lambda}, \frac{\vec{p}}{\lambda^{\alpha+\frac{1}{3}}}, \frac{t}{\lambda}\right) \quad \text{est aussi solution de la dynamique, } \forall \lambda > 0.$$

$$\text{On a: } \rho(\vec{x}, \vec{p}, t) = \int d\vec{p} \lambda^{-3\alpha-1} f\left(\frac{\vec{x}}{\lambda}, \frac{\vec{p}}{\lambda^{\alpha+\frac{1}{3}}}, \frac{t}{\lambda}\right) = \rho\left(\frac{\vec{x}}{\lambda}, \frac{t}{\lambda}\right)$$

$$\vec{F}_\lambda(\vec{x}, t) = \frac{e}{a(t)} \int d\vec{x}' \rho\left(\frac{\vec{x}'}{\lambda}, \frac{t}{\lambda}\right) \frac{\vec{x}' - \vec{x}}{|\vec{x}' - \vec{x}|^3} = \frac{e}{a(\lambda)} \lambda^{2/3} \int d\vec{x}' \rho\left(\vec{x}', \frac{t}{\lambda}\right) \lambda^\alpha \frac{\vec{x}' - \vec{x}}{|\vec{x}' - \vec{x}|^3} = \lambda^{2-\frac{1}{3}} \vec{F}\left(\frac{\vec{x}}{\lambda}, \frac{t}{\lambda}\right)$$

$$\text{où on a utilisé: } a \propto t^{2/3} \text{ donc: } a(t) = a\left(\frac{t}{\lambda}\right) \lambda^{2/3}$$

$$\begin{aligned} \frac{\partial f}{\partial t} + \frac{\vec{p}}{a^2} \cdot \frac{\partial f}{\partial \vec{x}} + \vec{F}_\lambda \cdot \frac{\vec{f}}{p} &= \lambda^{-3\alpha-1} \left[\lambda^{-1} \frac{\partial f}{\partial t} + \frac{\vec{p}}{a(\lambda) \lambda^{2/3}} \cdot \lambda^{-\alpha} \frac{\partial f}{\partial \vec{x}} + \lambda^{-\frac{1}{3}} \vec{F} \cdot \lambda^{-\frac{1}{3}} \frac{\vec{f}}{p} \right] \left(\frac{\vec{x}}{\lambda}, \frac{\vec{p}}{\lambda^{\alpha+\frac{1}{3}}}, \frac{t}{\lambda}\right) \\ &= \lambda^{-3\alpha-1} \left[\frac{\partial f}{\partial t} + \frac{\vec{p}}{a(\lambda) \lambda^{2/3}} \cdot \frac{\partial f}{\partial \vec{x}} + \vec{F} \cdot \frac{\vec{f}}{p} \right] \left(\frac{\vec{x}}{\lambda}, \frac{\vec{p}}{\lambda^{\alpha+\frac{1}{3}}}, \frac{t}{\lambda}\right) = 0 \end{aligned}$$

4)

Pour que le système vérifie cette symétrie, il faut qu'elle ne soit pas brisée par les conditions initiales. On a vu: $\rho(\vec{z}, t) = \rho\left(\frac{\vec{z}}{\lambda^2}, \frac{t}{\lambda}\right)$, donc il faut:

$\xi\left(\frac{\vec{z}}{\lambda^2}, \frac{t}{\lambda}\right) = \xi(\vec{z}, t)$, or dans le régime linéaire pour un spectre de puissance linéaire en loi de puissance $P_L(k) \propto k^n$, on a:

$$\sigma^2(x, t) = \langle \delta_{xx}^2 \rangle = \alpha^2 \left(\frac{x}{x_0}\right)^{-(n+3)}$$

$$\text{et: } \delta_x = \int \frac{d\vec{k}}{V} \delta(\vec{k}), \quad \langle \delta_{xx}^2 \rangle = \int \frac{d\vec{k}_1 d\vec{k}_2}{V^2} \langle \delta(\vec{k}_1) \delta(\vec{k}_2) \rangle \quad \text{et} \quad \delta(\vec{k}) = \left(\frac{d\vec{k}}{V} e^{i\vec{k} \cdot \vec{x}} \right) \delta(\vec{k})$$

$$\delta_x = \int \frac{d\vec{k}}{V} \int d\vec{k}' e^{i\vec{k} \cdot \vec{x}} \delta(\vec{k}') = \int d\vec{k}' F(k_{x0}) \delta(\vec{k}') \quad \text{avec: } F(k_{x0}) = \int \frac{d\vec{k}}{V} e^{i\vec{k} \cdot \vec{x}} , \quad F(0) = 1.$$

$$F(k_{x0}) = 3 \frac{\sin k_{x0} - k_{x0} \cos k_{x0}}{(k_{x0})^3} = 3 \sqrt{\frac{\pi}{2}} (k_{x0})^{-\frac{3}{2}} J_{\frac{1}{2}}(k_{x0})$$

$$\langle \delta(\vec{k}) \delta(\vec{k}') \rangle = \delta_0(\vec{k} + \vec{k}') P(k)$$

$$k = k_{x0}$$

$$\text{Donc: } \sigma^2(x) = \langle \delta_x^2 \rangle = \int d\vec{k}_1 d\vec{k}_2 F(k_{x1}) F(k_{x2}) \langle \delta(\vec{k}_1) \delta(\vec{k}_2) \rangle = \int d\vec{k}' F(k_{x0})^2 P(k') = x^3 \int dk' F(k) P\left(\frac{k}{x}\right)$$

$$\sigma^2(x) \sim x^{-(n+3)}$$

$$\text{Donc: } \sigma^2(x, t) \sim t^{\frac{4}{3}} x^{-(n+3)}, \quad \text{on voit: } \sigma^2\left(\frac{x}{\lambda^2}, \frac{t}{\lambda}\right) = \sigma^2(x, t)$$

$$\sigma^2\left(\frac{x}{\lambda^2}, \frac{t}{\lambda}\right) \sim t^{\frac{4}{3}} x^{-(n+3)} \lambda^{-\frac{4}{3} + (n+3)\alpha}, \quad -\frac{4}{3} + (n+3)\alpha = 0, \quad \underline{\alpha = \frac{4}{3(n+3)}}.$$

I3) Conservation des paires

Et partant de l'équation de Vlasov on obtient une équation pour la conservation des paires:

$$\frac{\partial f}{\partial t} + \vec{p} \cdot \frac{\nabla f}{\vec{v}} + \vec{F} \cdot \frac{\nabla f}{\vec{p}} = 0, \quad \rho = \int d\vec{p} f$$

$$\langle \frac{\partial}{\partial t} (\rho(\vec{z}_1, t) \rho(\vec{z}_2, t)) \rangle = \frac{\partial}{\partial t} [\bar{\rho}^2 (n+3)] = \bar{\rho}^2 \frac{\partial \bar{\rho}}{\partial t} = \langle \frac{\partial}{\partial t} \int d\vec{p}_1 d\vec{p}_2 f(\vec{z}_1, \vec{p}_1, t) f(\vec{z}_2, \vec{p}_2, t) \rangle$$

$$\bar{\rho}^2 \frac{\partial \bar{\rho}}{\partial t} = \langle \int d\vec{p}_1 d\vec{p}_2 \left[-\frac{\vec{p}_1}{\bar{\rho}} \cdot \frac{\nabla \rho}{\vec{v}_1} f_1(\vec{z}_1, \vec{p}_1) f_2(\vec{z}_2, \vec{p}_2) - \vec{F}_1 \cdot \frac{\nabla \rho}{\vec{p}_1} f_2 - \frac{\vec{p}_2}{\bar{\rho}} \cdot \frac{\nabla \rho}{\vec{v}_2} f_1 - \vec{F}_2 \cdot \frac{\nabla \rho}{\vec{p}_2} f_1 \right] \rangle$$

$$\bar{\rho}^2 \frac{\partial \bar{\rho}}{\partial t} = - \frac{1}{\bar{\rho}^2} \langle \int d\vec{p}_1 d\vec{p}_2 \frac{\vec{p}_1}{\bar{\rho}} f_1 f_2 \rangle - \frac{1}{\bar{\rho}^2} \langle \int d\vec{p}_1 d\vec{p}_2 \frac{\vec{F}_1}{\bar{\rho}} f_1 f_2 \rangle$$

5]

$$\bar{\rho}^2 \frac{\partial f}{\partial t} = - \frac{3}{2\pi} \int d\vec{p}_1 d\vec{p}_2 \frac{\vec{p}_1}{a^2} \langle f, f_0 \rangle - \frac{3}{2\pi} \int d\vec{p}_1 d\vec{p}_2 \frac{\vec{p}_2}{a^2} \langle f, f_0 \rangle$$

suit: $c(\vec{x}_1, \vec{p}_1; \vec{x}_2, \vec{p}_2) = \langle f(\vec{x}_1, \vec{p}_1) f(\vec{x}_2, \vec{p}_2) \rangle$, alors:

$$c(1,2) = c(\vec{x}_2 - \vec{x}_1; \vec{p}_1, \vec{p}_2) = c(\vec{x}_1 - \vec{x}_2; \vec{p}_2, \vec{p}_1), \quad c(\vec{x}; \vec{p}_1, \vec{p}_2) = c(-\vec{x}; \vec{p}_2, \vec{p}_1), \quad \vec{x} = \vec{x}_2 - \vec{x}_1$$

$$\bar{\rho}^2 \frac{\partial f}{\partial t} = \frac{3}{2\pi} \int d\vec{p}_1 d\vec{p}_2 \frac{\vec{p}_1}{a^2} c(\vec{x}; \vec{p}_1, \vec{p}_2) - \frac{3}{2\pi} \int d\vec{p}_1 d\vec{p}_2 \frac{\vec{p}_2}{a^2} c(\vec{x}; \vec{p}_1, \vec{p}_2)$$

$$\bar{\rho}^2 \frac{\partial f}{\partial t} = - \frac{3}{2\pi} \int d\vec{p}_1 d\vec{p}_2 \frac{\vec{p}_1 - \vec{p}_2}{a^2} c(\vec{x}; \vec{p}_1, \vec{p}_2)$$

Or on a défini: $\vec{p} = a^2 \vec{z} = a \vec{v} - a \vec{\omega} = a(\vec{v} - H \vec{\omega}) = a \vec{z}$, $\vec{u} = \vec{v} - H \vec{\omega}$
 \vec{u} : vitesse particulière.

On définit la vitesse particulière moyenne:

$$\bar{u}(x, t) = \frac{\int d\vec{p}_1 d\vec{p}_2 (\vec{u}_2 - \vec{u}_1) c(1,2)}{\int d\vec{p}_1 d\vec{p}_2 c(1,2)} = \frac{\int d\vec{p}_1 d\vec{p}_2 \frac{\vec{p}_2 - \vec{p}_1}{a} c(1,2)}{\bar{\rho}^2 (4\pi)} = u \frac{x}{a} \quad \text{car } \vec{z} \parallel \vec{x} \text{ par symétrie.}$$

$$\bar{\rho}^2 \frac{\partial f}{\partial t} = - \frac{3}{2\pi} \left[\frac{\bar{\rho}^2}{a} (4\pi) \bar{u} \right], \quad a \frac{\partial f}{\partial t} = - \frac{3}{2\pi} \left[\frac{x}{a} (4\pi) u \right] \quad x = (x_1^2 + x_2^2 + x_3^2)^{1/2}$$

$$a \frac{\partial f}{\partial t} = - \frac{3}{2\pi} (4\pi) u - \infty, \frac{1}{2} \pi^{-1} 2x, \frac{3}{2\pi} \left[\frac{1}{a} (4\pi) u \right] = - \frac{3}{2\pi} (4\pi) u - \infty \frac{3}{2\pi} \left[\frac{1}{a} (4\pi) u \right]$$

$$a \frac{\partial f}{\partial t} = - \frac{3}{2\pi} (4\pi) u + \frac{1}{2} \pi (4\pi) u - \frac{3}{2\pi} \left[(4\pi) u \right] = - \frac{3}{2\pi} (4\pi) u - \frac{3}{2\pi} \left[(4\pi) u \right] = - \frac{1}{a^2} \frac{3}{2\pi} \left[x^2 (4\pi) u \right]$$

$$\frac{\partial f}{\partial t} + \frac{1}{a^2} \frac{3}{2\pi} \left[x^2 (4\pi) u \right] = 0$$

En fait, cette équation traduit la conservation des paires:

$$\frac{d}{dt} \left(\bar{n} \int_0^\infty dx 4\pi x^2 (4\pi) u \right) + 4\pi x^2 \bar{n} (4\pi) \frac{u}{a} = 0 \quad \text{car } \dot{\bar{n}} = \frac{\bar{n}}{a}$$

variation du nbr moyen de voisins
dans un rayon x d'une particule

flux moyen de voisins à travers la surface
de rayon x .

$$\frac{d}{dx} \rightarrow \frac{d}{dx} \left[x^2 (4\pi) u \right] + \frac{d}{dx} \left[x^2 (4\pi) \frac{u}{a} \right] = 0, \quad \frac{\partial f}{\partial t} + \frac{1}{a^2} \frac{3}{2\pi} \left[x^2 (4\pi) u \right] = 0$$

Alors le comportement de f est lié à celui de la vitesse moyenne entre paires u .

→ à partir de u on obtient f (stable-clustering)

→ à partir de f on obtient u (modèle de halo)

6)

En effet, la probabilité de trouver un objet dans chacun des éléments de volume dV_1 et dV_2 est: $dP = \bar{n}^2 dV_1 (1 + \xi(x_{12})) dV_2$

Dans un processus de Poisson uniforme les probabilités de trouver des objets en dV_1 et dV_2 sont indépendantes, donc la probabilité conjointe est: $dP = \bar{n}^2 dV_1 dV_2$, $\xi = 0$.

Si les objets sont corrélés positivement: $\xi > 0$, si ils sont anti-correlés: $\xi < 0$.

Écrivons la probabilité d'avoir une particule dans dV_1 et $\bar{n} dV_1$, la probabilité conditionnelle de trouver un objet en dV_2 sachant qu'il y en a un en dV_1 est:

$$dP(2|1) = \bar{n} (1 + \xi(x)) dV_2$$

En d'autres termes, si on choisit une particule au hasard, la probabilité qu'elle ait un voisin à la distance r en dV est: $\frac{dP_c}{dV} = \bar{n} (1 + \xi(x)) dV$

Donc le nombre moyen de voisins dans un rayon R est: $N_c = \int_0^R dV \bar{n} (1 + \xi(x)) = \bar{n} \int_0^R 4\pi r^2 F_3(r) dr$

Notez: de même, la probabilité de trouver 3 objets est:

$$dP_{123} = \bar{n}^3 [1 + \xi(x_{12}) + \xi(x_{13}) + \xi(x_{23}) + \xi_3(x_{12}, x_{13}, x_{23})] dV_1 dV_2 dV_3.$$

II 1) Stable-clustering ansatz

$$\text{On a: } \frac{\partial \xi}{\partial t} + \frac{1}{a \dot{x}^2} \frac{\partial}{\partial x} [\dot{x}^2 (1 + \xi)] = 0.$$

Et petite échelle où $\xi \gg 1$, les régions sur-denses virulent et découlent de l'expansion générale. Si elles restent stables, la vitesse physique $\dot{x} \approx 0$ donc $\dot{x} \approx -H \dot{x} = -\dot{a} \ddot{x}$, d'où:

$$\frac{\partial \xi}{\partial t} (1 + \xi) = \frac{\dot{a}}{a \dot{x}^2} \frac{\partial}{\partial x} [\dot{x}^2 (1 + \xi)], \quad \dot{x}^2 \approx \frac{\partial}{\partial a} (1 + \xi) = a \frac{\partial}{\partial a} [\dot{x}^2 (1 + \xi)]$$

$$\left(\frac{\partial}{\partial \ln a} - \frac{\partial}{\partial \ln x} \right) (\dot{x}^2 (1 + \xi)) = 0, \quad \text{donc: } \dot{x}^2 (1 + \xi) = F_1(\ln a + \ln x) = F_2(a x) \quad a = x, \quad \dot{x} =$$

$$1 + \xi = a^3 F_3(a x), \quad \# \text{voisins: } N_c = \bar{n} \int_0^\infty da \pi a^2 F_3^2(a x) = \bar{n} \int_0^\infty da 4\pi a^2 F_3^2(a) = C \cdot \frac{a}{x}$$

Le nombre moyen de voisins à distance physique fixée est constant / temps.

7)

De même, la conservation des triplets, ... donne: $\xi_p(\vec{x}_1, \dots, \vec{x}_p; a) \propto a^{3(p-1)}$
de sorte que:

$$\bar{n}^{p-1} \xi_p(\vec{x}_1, \dots, \vec{x}_p; a) = c^{\frac{6}{p}} / \text{temps à séparation physique donnée.}$$

On note: $\bar{\xi}_p(R) = \int \frac{d\vec{x}_1 \dots d\vec{x}_p}{V^p} \xi_p(\vec{x}_1, \dots, \vec{x}_p)$ donc: $\bar{\xi}_p(R) \propto a^{3(p-1)} \propto \bar{\xi}_p(R)^{p-1}$.

On définit: $s_p = \frac{\xi_p}{\bar{\xi}_p^{p-1}}$, $s_p(R, t)$ indépendant du temps à petite échelle.

II 29) Invariance d'échelle + stable clustering

Si le système est invariant d'échelle on a vu en coordonnées comobiles:

$$\xi_p\left(\frac{\vec{x}_1}{\lambda^\alpha}, \dots, \frac{\vec{x}_p}{\lambda^\alpha}; \frac{t}{\lambda}\right) = \xi_p(\vec{x}_1, \dots, \vec{x}_p; t) \quad \text{et} \quad \alpha = \frac{4}{3(6+3)}, \quad \alpha \ll t^{\frac{2}{3}}. \quad \vec{x} = a \vec{z}$$

$$\xi_p\left(\vec{x}_1, \dots, \vec{x}_p; t\right) = \xi_p\left(\frac{\vec{x}_1}{\lambda^{\alpha+\frac{2}{3}}}, \dots, \frac{\vec{x}_p}{\lambda^{\alpha+\frac{2}{3}}; \frac{t}{\lambda}}\right) \quad \Rightarrow \frac{\vec{x}_i}{\lambda^{\alpha+\frac{2}{3}}}, \quad \vec{x}_i \text{ en physiques}$$

$$\text{car: } t \rightarrow \frac{t}{\lambda}, \quad \vec{x} \rightarrow \frac{\vec{x}}{\lambda^\alpha}, \quad \vec{x} \rightarrow \frac{\vec{x}}{a(t)} \frac{a(\frac{t}{\lambda})}{\lambda^\alpha} = \frac{\vec{x}}{\lambda^{\alpha+\frac{2}{3}}}$$

Si on a de plus le stable-clustering: $\xi_p(\vec{x}_1, \dots, \vec{x}_p; t) = t^{2(p-1)} \hat{\xi}_p(\vec{x}_1, \dots, \vec{x}_p)$

$$\Rightarrow t^{2(p-1)} \hat{\xi}_p(\vec{x}_1, \dots, \vec{x}_p) = \left(\frac{t}{\lambda}\right)^{2(p-1)} \hat{\xi}_p\left(\frac{\vec{x}_1}{\lambda^{\alpha+\frac{2}{3}}}, \dots, \frac{\vec{x}_p}{\lambda^{\alpha+\frac{2}{3}}}\right)$$

soit: $\mu = \lambda^{-\alpha-\frac{2}{3}} = \lambda^{-\frac{3\alpha+2}{3}}, \quad \hat{\xi}_p(\mu \vec{x}_1, \dots, \mu \vec{x}_p) = \mu^{-\frac{6}{3\alpha+2}(p-1)} \hat{\xi}_p(\vec{x}_1, \dots, \vec{x}_p)$

$$\lambda = \mu^{-\frac{3}{3\alpha+2}}$$

$$\hat{\xi}_p(\mu \vec{x}_1, \dots, \mu \vec{x}_p) = \mu^{-\frac{6}{3\alpha+2}(p-1)} \hat{\xi}_p(\vec{x}_1, \dots, \vec{x}_p)$$

$$\gamma = \frac{6}{3\alpha+2} = \frac{3(n+3)}{n+5}$$

En particulier, les coefficients $s_p = \frac{\xi_p}{\bar{\xi}_p^{p-1}}$ sont indépendants du temps et de l'échelle.

ApJ, 465, 14 (1996)

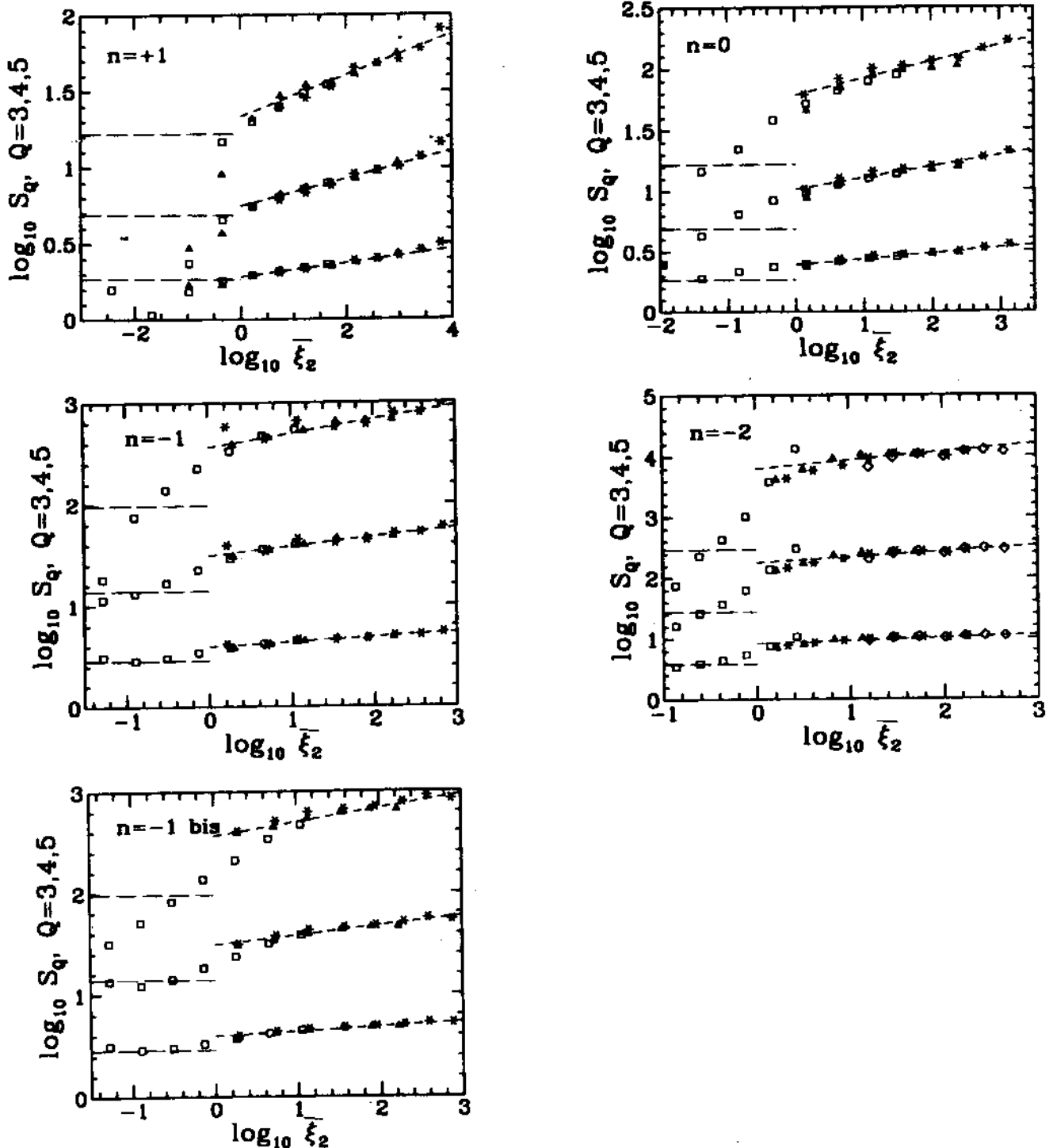


FIG. 5.—Same as Fig. 4, but finite volume effects have been corrected for when necessary, by extending to infinity the large- N exponential tail exhibited by the CPDF (see Fig. 1); only the reliable scales have been displayed, i.e., $\ell_m \leq \ell \leq \ell_M$, where ℓ_m and ℓ_M are listed in Table 1. Now, the agreement with self-similarity is much better: the curves corresponding to various expansion factors all superimpose, for a given value of Q and n . The long dashes give the predictions of eqs. (29), (30), and (31) from perturbation theory, valid in the limit $\xi_2 \ll 1$. In the case $n = +1$, we display the predictions for $n = 0$ (see discussion in the text). The short dashes are the following phenomenological power-law fit: $S_Q = \bar{S}_Q (\xi_2 / 100)^{0.045(Q-2)}$, valid for $\xi_2 > 1$, for all n . The values of \bar{S}_Q are given in Table 3.

II.3) Généralisation

On a vu: $\frac{\partial \tilde{F}}{\partial t} + \frac{1}{ax^2} \frac{\partial}{\partial x} [x^2(1+\tilde{F})u] = 0$

On note: $\tilde{F} = \frac{3}{x^3} \int_0^x du u^2 \tilde{F}(u) = \frac{1}{V} \int_0^x du \frac{du}{dx} x^2 \tilde{F}(u)$, $N_c = N(1+\tilde{F})$ # voisins.

on remarque: $\frac{\partial}{\partial x} (x^2 \tilde{F}) = 3x^2 \tilde{F}$ donc: $1+\tilde{F} = \frac{1}{3x^2} \frac{\partial}{\partial x} [x^3(1+\tilde{F})]$

on substitue:

$$\frac{1}{3x^2} \frac{\partial}{\partial x} [x^3 \frac{\partial}{\partial x} (1+\tilde{F})] = - \frac{1}{ax^2} \frac{\partial}{\partial x} \left[\frac{u}{3} \frac{\partial}{\partial x} (x^3(1+\tilde{F})) \right]$$

d'où: $x^3 \frac{\partial}{\partial x} (1+\tilde{F}) = - \frac{u}{a} \frac{\partial}{\partial x} [x^3(1+\tilde{F})]$

On change de variable: $t \rightarrow a$: $x^3 \frac{\partial}{\partial a} (1+\tilde{F}) = - \frac{u}{a} \frac{\partial}{\partial a} [x^3(1+\tilde{F})]$

$$a \frac{\partial}{\partial a} (1+\tilde{F}) = \left(\frac{u}{ax} \right) \frac{1}{x^2} \frac{\partial}{\partial x} [x^3(1+\tilde{F})]$$

On définit: $h(x,a) = - \frac{u}{ax}$, $\left(\frac{\partial}{\partial a} - h \frac{\partial}{\partial x} \right) (1+\tilde{F}) = 3h(1+\tilde{F})$

• régime linéaire: on a vu: $x^3 \frac{\partial}{\partial a} (1+\tilde{F}) = - \frac{u}{a} \frac{\partial}{\partial x} [x^3(1+\tilde{F})]$

$\tilde{F} \ll 1$ donc, avec $\tilde{F} \approx x^2$: $x^3 \frac{\partial}{\partial a} 2 \frac{\tilde{F}}{a} = - \frac{u}{a} 3x^2$, $u = - \frac{2}{3} \tilde{F}$

$$h(x,a) = \frac{2}{3} \tilde{F}$$

• régime non-linéaire: $h=1$

Si on suppose: $h(x,a) = h(\tilde{F})$ alors: $\left(\frac{\partial}{\partial a} - h \frac{\partial}{\partial x} \right) \ln(1+\tilde{F}) = 3h$

soit: $A = \ln a$, $x = \ln x$, $D = \ln(1+\tilde{F})$: $\frac{\partial D}{\partial A} - h(D) \frac{\partial D}{\partial x} = 3h$

caractéristique: $\frac{dD}{da} = 3h$ avec: $\frac{dA}{da} = 1$, $\frac{dx}{da} = -h$

donc: $da = \frac{dD}{3h}$, $a = \int \frac{dD}{3h} = \int_{\tilde{F}_0}^{\tilde{F}} \frac{d\tilde{F}}{3h(1+\tilde{F})}$, $A = A_0 + a$, $a = A - A_0 = \ln \frac{a}{a_0}$

$$\ln \frac{a}{a_0} = \int_{\tilde{F}_0}^{\tilde{F}} \frac{d\tilde{F}}{3h(1+\tilde{F})} = \frac{1}{2} \ln \frac{\tilde{F}}{\tilde{F}_0}, \quad \tilde{F}_L = \tilde{F}_{L_0} e^{\frac{2}{3} \int_{\tilde{F}_0}^{\tilde{F}} \frac{d\tilde{F}}{3h(1+\tilde{F})}}$$

et: $\frac{dx}{da} = -h = -\frac{1}{3} \frac{dD}{da}$, $3x+D = C/a$, $\ln x^3(1+\tilde{F}) = C/a$.

et: $\tilde{F}(x_L) = \tilde{F}_{L_0}(x_L) e^{\frac{2}{3} \int_{\tilde{F}_0}^{\tilde{F}} \frac{d\tilde{F}}{3h(1+\tilde{F})}}$ et: $x^3(1+\tilde{F}) = x_L^3$, $a_0 \rightarrow 0$.

$$\text{Soit: } \left\{ \begin{array}{l} \tilde{\xi}(x, a) = \mathcal{F}(\tilde{\xi}_L(x_L)) \\ x^3(1 + \tilde{\xi}) = x_L^3 \end{array} \right.$$

- régime linéaire: $\approx \tilde{\xi} \ll 1$, $x \approx x_L$, $\mathcal{F}(\tilde{\xi}_L) \approx \tilde{\xi}_L$ en $\tilde{\xi} \ll 1$.

- régime non-linéaire: si $b=1$, stable clustering: $\xi(x, a) \propto a^3$ (r^e physique)
 $a^3 x^3 = C^3/a$: x fixé, $\tilde{\xi}_L \propto a^2$ donc: $\mathcal{F}(\tilde{\xi}_L) \propto \tilde{\xi}_L^{3/2}$ en $\tilde{\xi} \gg 1$.

I.4) Hamilton et al.

En fait cette idée vient d'un point de vue Lagrangien où l'on suit l'évolution d'une région de masse donnée. En coordonnées comobiles, le nombre moyen de voisins est: $N_c = \int_0^a N \tilde{n}(t, \tilde{\xi}) = \bar{n} V(t, \tilde{\xi})$.

Dans le champ linéaire: $x_L = C^{\frac{1}{3}}$, $\delta_L \propto D(t)$, donc on relie l'échelle Lagrangienne x_L à l'échelle Eulerienne x avec: $x_L^3(1 + \tilde{\xi}) = x^3$.

On suppose ensuite qu'après cette rescaling on a une dépendance universelle de la forme:

$$\tilde{\xi} = \mathcal{F}(\tilde{\xi}_L) : \quad \tilde{\xi}(x, a) = \mathcal{F}[\tilde{\xi}_L(x_L, a)] .$$

$$\tilde{\xi} \ll 1: \quad \mathcal{F}(\tilde{\xi}) \approx \tilde{\xi}, \quad \tilde{\xi} \gg 1: \quad \tilde{\xi} \propto a^3 \text{ et } \tilde{\xi}_L \propto D, \quad \mathcal{F}(\tilde{\xi}_L) \propto \left(\frac{a}{D}\right)^3 \tilde{\xi}_L^{3/2} .$$

En fait on vérifie numériquement que la fonction \mathcal{F} dépend de (D_m , D_L , n).

Pour un spectre CDM on prend le n à la transition non-linéaire.

$$\text{On a vu: } \langle \delta_R^2 \rangle = \int dk' W(kR)^2 P(k) = \int \frac{dk}{k} 4\pi k^2 P(k) W(kR)^2 = \int_0^\infty \frac{dk}{k} \Delta(k) W(kR)^2$$

$\Delta(k)$: puissance sur intervalle logarithmique de k .

$$\text{On écrit: } \left\{ \begin{array}{l} \Delta(k, t) = \mathcal{F}[\Delta_L^*(k_L, t)] \\ k^3 = (1 + \Delta(k)) k_L^3 \end{array} \right.$$

PV
 Schaeffer
 Lacey 99

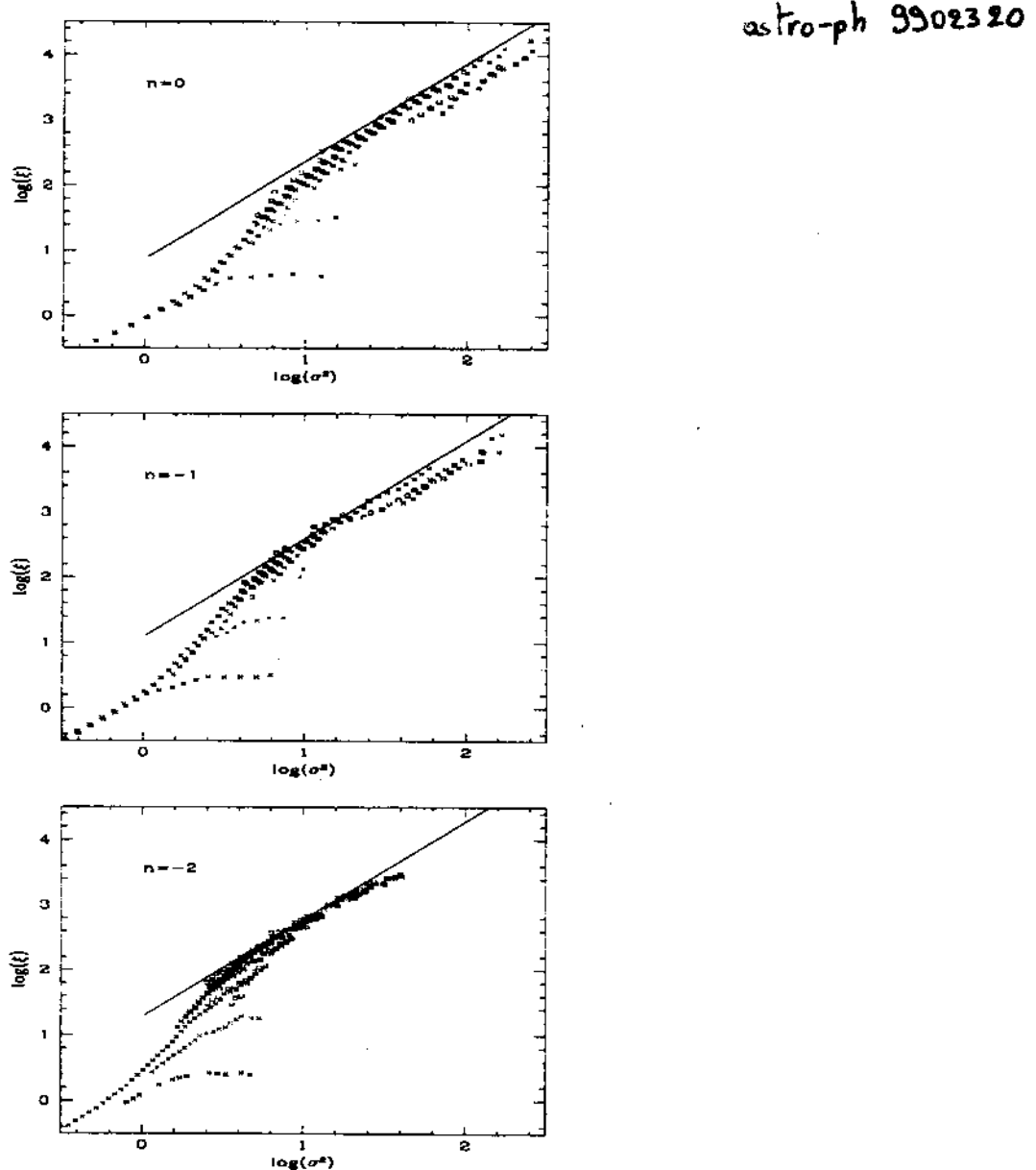


Figure 1: The two-point correlation function $\bar{\xi}(R)$ as a function of $\sigma^2(R_L)$ for the power-spectra $n = 0, -1$ and -2 . The solid line is the asymptotic behaviour (12) for large $\bar{\xi}$, in the stable clustering regime, with normalization α from Tab. 1. The crosses are numerical values obtained from counts-in-cells, while the squares are the estimates of $\bar{\xi}$ provided by measures of ξ from neighbour counts, see main text and (23). Different shades of grey correspond to different comoving scales (0.2, 0.5, 1, 2, 4, 8 and 16 Mpc). The larger scales (8 and 16 Mpc) saturate at too low a value of $\bar{\xi}$, reflecting the finite size of the sample. The 0.2 Mpc scale presents deviations from the scaling in the highly non-linear regime (all curves should exactly superpose for power-law initial conditions), with a lack of power due to the softening-over a 0.2 Mpc radius of the gravitational interaction.

III.1) Fonctions génératrices

Et partir de la pdf $P(\rho_R)$ on définit la fonction génératrice des moments $\varphi(y)$:

$$\underline{\varphi(y) = \int_0^\infty d\rho_R e^{-y\rho_R} P(\rho_R)} = \sum_{p=0}^{\infty} \frac{(\rho_R)^p}{p!} \langle \rho_R^p \rangle , \quad P(\rho_R) = \int_{-\infty}^{\infty} \frac{dy}{\pi i} e^{y\rho_R} \varphi(y)$$

Elle est liée à la fonction génératrice des cumulants par:

$$\underline{\varphi(y) = e^{-\tilde{\varphi}(y)}} \quad \text{et} \quad \tilde{\varphi}(y) = -\sum_{p=1}^{\infty} \frac{(\rho_R)^p}{p!} \langle \rho_R^p \rangle .$$

$$\text{Donc: } \underline{e^{-\tilde{\varphi}(y)} = \int_0^\infty d\rho_R e^{-y\rho_R} P(\rho_R)} \quad \text{et} \quad P(\rho_R) = \int_{-\infty}^{\infty} \frac{dy}{\pi i} e^{y\rho_R - \tilde{\varphi}(y)}$$

Dans le cadre du stable-clustering ansatz on a: $s_p = \frac{\bar{\xi}_p}{\bar{\xi}_{p-1}}$ indépendant de (R, t) .

Donc on introduit:

$$\underline{\varphi(y) = \sum_{p=1}^{\infty} \frac{(\rho_R)^{p-1}}{p!} s_p y^p} , \quad s_1 = s_2 = 1.$$

$$\underline{\tilde{\varphi}(y) = \sum_{p=1}^{\infty} \frac{(\rho_R)^{p-1}}{p!} y^p \bar{\xi}_p} = \sum_{p=1}^{\infty} \frac{(\rho_R)^{p-1}}{p!} y^p s_p \bar{\xi}^{p-1} = \frac{1}{\bar{\xi}} \varphi(y \bar{\xi}) , \quad \tilde{\varphi}(y) = \varphi(y \bar{\xi}) / \bar{\xi} .$$

Noter: on a en fait défini: $\rho_R = \int_V \frac{d\omega}{V} \frac{\rho(\omega)}{\bar{\xi}} = 1 + s_R$, $\langle \rho_R^p \rangle_c = \bar{\xi}_p = \int \frac{d\omega_1 \dots d\omega_p}{V^p} \delta_p$.

$$\text{Donc: } \left\{ \begin{array}{l} \underline{e^{-\varphi(y)/\bar{\xi}} = \int_0^\infty d\rho_R e^{-y(\rho_R/\bar{\xi})} P(\rho_R)} , \\ \underline{P(\rho_R) = \int_{-\infty}^{\infty} \frac{dy}{\pi i} e^{[y(\rho_R - \tilde{\varphi}(y))]/\bar{\xi}}} \end{array} \right.$$

En particulier, la skewness s_3 est: $s_3 = \frac{\bar{\xi}_3}{\bar{\xi}^2} = \frac{\langle \rho_R^3 \rangle_c}{\langle \rho_R^2 \rangle_c^2}$.

Et l'origine: $\underline{\varphi(y) \approx y - \frac{y^2}{2} + s_3 \frac{y^3}{6} + \dots}$

De plus:

$$\star \quad \text{Re}(y) > 0: \quad |e^{-\varphi(y)/\bar{\xi}}| \leq \int_0^\infty d\rho_R P(\rho_R) |e^{-y(\rho_R/\bar{\xi})}| \leq \int_0^\infty d\rho_R P(\rho_R) = 1$$

$$\text{Re}(y) > 0: \quad \text{Re}(\varphi(y)) > 0 .$$

$$\star \quad -\frac{y'}{\bar{\xi}} e^{-\frac{y}{\bar{\xi}}} = \int_0^\infty d\rho_R \left(-\frac{y}{\bar{\xi}} \right) e^{-y(\rho_R/\bar{\xi})} P(\rho_R) , \quad y \in \mathbb{R}: \quad \varphi(y) \in \mathbb{R} \text{ et } \varphi'(y) > 0 .$$

13]

$$\star \quad y \geq 0: \quad e^{-\frac{P(y)}{\xi^2}} - \int_0^\infty d\rho_R P(\rho) e^{-\frac{\rho^2}{\xi^2}} \geq \int_0^\infty d\rho_R P(\rho) e^{-\frac{\rho^2}{\xi^2}} \geq e^{-\frac{P(0)}{\xi^2}} \int_0^\infty d\rho_R P(\rho) \quad (\alpha)$$

$$\text{et de plus: } 1 = \int_0^\infty d\rho_R P(\rho) \geq \int_0^\infty d\rho_R P(\rho) (\alpha) \geq \alpha \int_0^\infty d\rho_R P(\rho)$$

$$\text{donc: } \int_0^\infty d\rho_R P(\rho) \leq \frac{1}{\alpha}, \quad \text{d'où: } \int_0^\infty d\rho_R P(\rho) = 1 - \int_0^\infty d\rho_R P(\rho) \geq 1 - \frac{1}{\alpha} \quad (\alpha > 1)$$

$$\text{donc: } e^{-\frac{P(0)}{\xi^2}} \geq e^{-\alpha \frac{P(0)}{\xi^2}} (1 - \frac{1}{\alpha}), \quad -\frac{P(0)}{\xi^2} \geq -\frac{\alpha P(0)}{\xi^2} + \ln \frac{\alpha-1}{\alpha}$$

$$\forall \alpha > 1: \quad y \geq 0: \quad \varphi(y) \leq \alpha y + \frac{1}{\xi^2} \ln \frac{\alpha-1}{\alpha}$$

III.2*) On prend comme modèle: (Balian Schaeffer 1989)

$$\left. \begin{array}{l} \text{si } y \rightarrow +\infty: \quad \varphi(y) \sim a y^{1-\omega}, \quad 0 < \omega < 1 \\ \text{si } y \rightarrow y_0^+ < 0: \quad \varphi(y) \sim -a_0 \Gamma(\omega) (y-y_0)^{-\omega_0} + \dots \end{array} \right.$$

$$\rho \rightarrow \infty: \quad S_p \sim (gy_0)^p p! = \frac{p!}{(gy_0)^p}$$

$$y_0 = \lim_{p \rightarrow \infty} \rho \frac{S_p}{S_{p+1}}$$

$$\text{par ex. } \omega_0 = -\frac{3}{2}$$

on a omis les termes plus réguliers.

2 échelles de densité ρ_s et ρ_c apparaissent dans le régime très non-linéaire $\bar{s} \gg 1$:

$$\rho_s = \xi^{\frac{-\omega}{1-\omega}}, \quad \rho_c = \xi^{\frac{1}{2}}. \quad \rho_s \ll 1 \ll \rho_c.$$

$$\bullet \text{ pour } \rho \gg \rho_s \text{ on peut écrire: } P(\rho_s) = \int \frac{dy}{2\pi i} e^{\frac{[y\rho_s - \varphi(y)]}{\xi^2}} = -\frac{1}{\xi^2} \int \frac{dy}{2\pi i} e^{\frac{y\rho_s}{\xi^2}} \varphi(y)$$

$$\text{soit: } P(\rho_s) \approx \frac{1}{\xi^2} h(x) \quad \text{avec } x = \frac{\rho_s}{\xi}, \quad h(x) = - \int_{-\infty}^x \frac{dy}{2\pi i} e^{xy} \varphi(y)$$

$$\underline{\rho_s \gg \rho_c}: \quad P(\rho_s) \approx \frac{\omega}{\xi^2} \left(\frac{\rho_s}{\xi}\right)^{\omega-1} e^{-\frac{1}{2} \rho_s^2 / \xi^2}$$

$$\underline{\rho_c \ll \rho_s \ll \rho_c}: \quad P(\rho_s) \approx \frac{a(1-\omega)}{\Gamma(\omega) \xi^2} \left(\frac{\rho_s}{\xi}\right)^{\omega-2}$$

$$\underline{\rho_s \ll \rho_c}: \quad P(\rho_s) \approx a^{\frac{1}{1-\omega}} \xi^{\frac{\omega}{1-\omega}} \sqrt{\frac{(1-\omega)^{\frac{1}{1-\omega}}}{2\pi\omega}} \xi^{-\frac{1+\omega}{2\omega}} e^{-\omega \left(\frac{\rho_s}{\xi}\right)^{\frac{1}{1-\omega}}}$$

$$\text{avec: } g = a^{\frac{1}{1-\omega}} \xi^{\frac{\omega}{1-\omega}} \rho_s$$

$$\bullet \text{ les moments vérifient: } \left\{ \begin{array}{l} \rho > 1-\omega: \quad \langle \rho_s^p \rangle \sim \xi^{p-1} \\ \rho < 1-\omega: \quad \langle \rho_s^p \rangle \sim \xi^{-p \frac{\omega}{1-\omega}} \end{array} \right.$$

$$\left\{ \begin{array}{l} \rho > 1-\omega: \quad \langle \rho_s^p \rangle \sim \xi^{p-1} \\ \rho < 1-\omega: \quad \langle \rho_s^p \rangle \sim \xi^{-p \frac{\omega}{1-\omega}} \end{array} \right.$$

Valageas, 1999, A&A, 347, 757

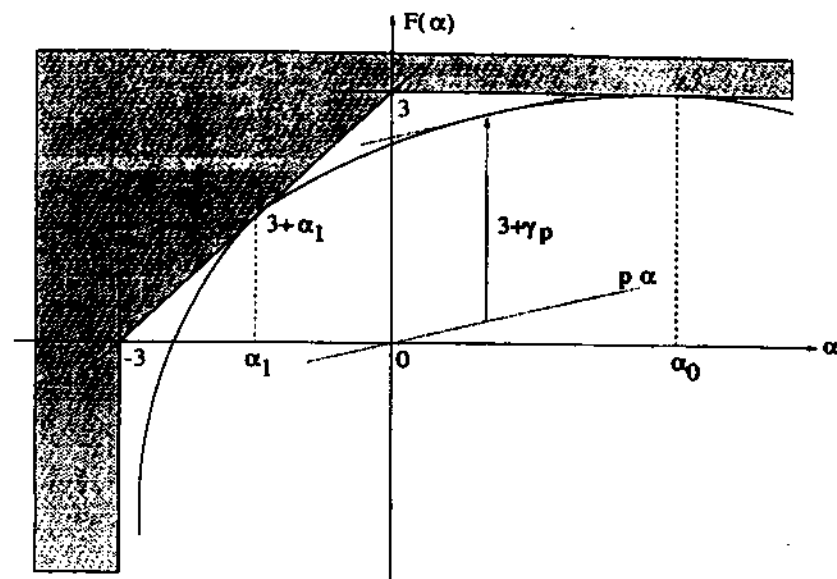


Figure 1: Geometrical construction of the scaling exponents γ_p from the fractal dimensions $F(\alpha)$.

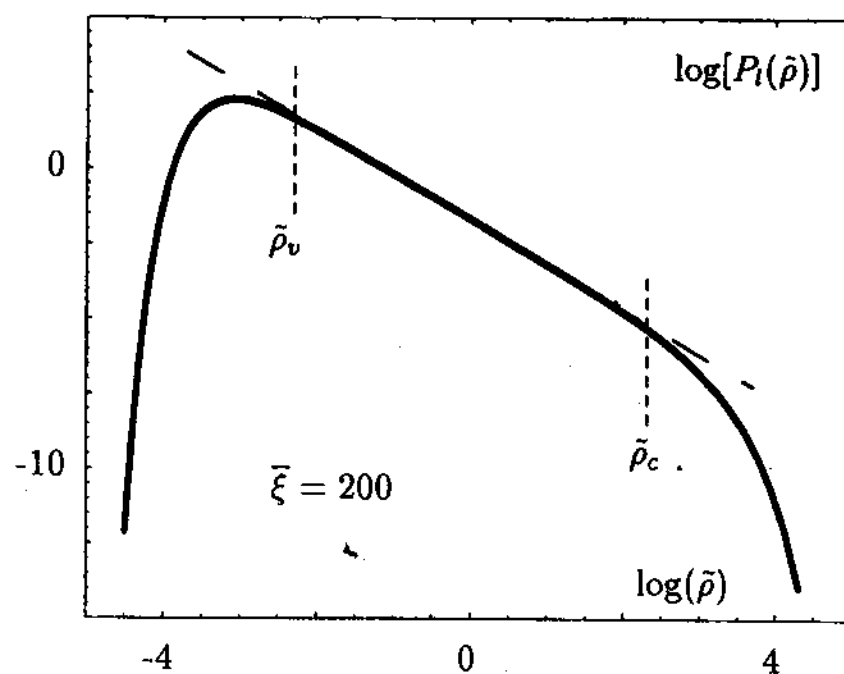


Figure 2: Probability $P_l(\tilde{\rho})$ for finding an overdensity $\tilde{\rho}$ in a cell within which the average correlation function is $\bar{\xi} = 200$ in the case $\omega_l = 1/2$, $\omega_{s,l} = -3/2$ and $x_{s,l} = 10$. The density distribution is a power-law with a cutoff at small ($\tilde{\rho}_v \sim \bar{\xi}^{-\omega_l/(1-\omega_l)}$) and large ($\tilde{\rho}_c \sim \bar{\xi}$) densities. Both $\tilde{\rho}_v$ and $\tilde{\rho}_c$ are scale-dependent: for large $\bar{\xi}$, $\tilde{\rho}_v$ goes to 0 while $\tilde{\rho}_c$ goes to infinity.

Dans le cas de l'ansatz du stable-clustering, les paramètres s_p sont indépendants de l'échelle et du temps dans le régime linéaire. Donc 1 mesure de $\varphi(y)$ ou P_R en un point (R, t) suffit. En pratique, pour un spectre de puissance qui n'est pas une loi de puissance, on écrit $\underline{\varphi(y; R, t) = \varphi(y; n)}$ où n est l'indice du spectre linéaire $P_L(k)$ à l'échelle x_L correspond à x . Donc $\varphi(y)$ est indépendant du temps à R fixé, mais dépend de R .

Note: A partir de la positivité de ρ et $P(\rho)$ on peut obtenir plusieurs résultats exacts sur les moments et les cumulants $\langle \rho^p \rangle$, $\langle \rho^p \rangle_{\bar{x}}$.

$$\text{obtenu, Cauchy-Schwarz: } \langle \rho_R^p \rangle^2 = \langle \rho_R^{p+1} \rho_R^{p-1} \rangle^2 \leq \langle \rho_R^{p+1} \rangle \langle \rho_R^{p-1} \rangle$$

$$p \in \mathbb{R}: \frac{\langle \rho_R^{p+1} \rangle}{\langle \rho_R^p \rangle} \geq \frac{\langle \rho_R^p \rangle}{\langle \rho_R^{p-1} \rangle}, \text{ or } \langle \rho_R^p \rangle = 1 \text{ donc:}$$

$$p \in \mathbb{N}: \frac{\langle \rho_R^{p+1} \rangle}{\langle \rho_R^p \rangle} \geq \langle \rho_R^p \rangle \text{ soit } \underline{\langle \rho_R^p \rangle \geq \langle \rho_R^2 \rangle^{p-1}}$$

$$\text{à petite échelle: } R \rightarrow 0, \bar{x} \rightarrow \infty: \frac{\langle \rho_R^p \rangle}{\bar{x}_p} \rightarrow 1, \quad \underline{\bar{x}_p \rightarrow \bar{x}_p^{p-1}}$$

$$\text{si on a un comportement en puissance: } \langle \rho_R^p \rangle \sim R^{-\gamma_p}, \quad \underline{\bar{x}_p \sim R^{-\gamma_p}}$$

$$\text{alors: } \underline{\gamma_p \geq (p-1)\gamma_2}, \quad \underline{s_p = \frac{\bar{x}_p}{\bar{x}_p^{p-1}} \sim R^{-\gamma_p} \text{ avec: } \bar{x}_p = \gamma_p - (p-1)\gamma_2 \geq 0}$$

Donc les coefficients s_p sont constants ou augmentent avec \bar{x} .

III.3) Modèles en arbres

On décrit le champ de densité par : $\hat{\xi}_p(z_1, \dots, z_p) = \sum_{\alpha} Q_p^{\alpha} \prod_{j=1}^p \hat{\xi}_{\alpha_j}(z_j, \bar{z}_j)$

- modèle minimal: $Q_p^{\alpha} = \frac{1}{n!} v_{q_1} \dots v_{q_p}$, $n = 1$.

- modèle plus général: $Q_p^{\alpha}(z_1, \dots, z_p) = \prod_{j=1}^p v_{q_j}(z_{q_1}, \bar{z}_j, \dots, z_{q_p}, \bar{z}_j)$

v_q fonction homogène des bords $\bar{z}_{q_j} - z_j$ sortant du point z_j , de vecteur v_{q_j} .

→ dépend des angles et des rapports de longueur.

Dans le cas du modèle d'arbres minimal, on définit la fonction génératrice:

$$\hat{s}(z) = \sum_{p=0}^{\infty} \frac{z^p}{p!} \hat{\xi}_p \quad , \quad \varphi(y) = \sum_{p=1}^{\infty} \frac{y^{p-1}}{p!} s_p \quad s_p = \frac{v_{q_1} \dots v_{q_p}}{\sum_{q_1, \dots, q_p}}, \quad s_1 = s_2 = 1.$$

Alors on obtient:

$$\left\{ \begin{array}{l} \varphi(y) = y \int_V \frac{dz}{V} \left[\hat{s}(z) - \frac{z \hat{s}'(z)}{2} \right] \\ z(\bar{z}) = -y \int_V \frac{dz}{V} \frac{\hat{s}(z, \bar{z})}{\hat{s}} \hat{s}'(z) \end{array} \right.$$

$$\hat{s}(z) = 1 - z + \frac{z^2}{2} - \dots, \quad \varphi(y) = y - \frac{y^2}{2} + \frac{y^3}{3} s_3 + \dots$$

Si on fait une approximation de champ moyen on obtient:

$$\left\{ \begin{array}{l} \varphi(y) = y \left[\hat{s}(z) - \frac{z \hat{s}'(z)}{2} \right] \\ z = -y \hat{s}'(z) \end{array} \right. \quad \left\{ \begin{array}{l} \underline{\varphi(y) = y \hat{s}(z) + \frac{z^2}{2}} \\ \underline{z = -y \hat{s}'(z)} \end{array} \right.$$

- Modèle stellaire: $\hat{\xi}_p(z_1, \dots, z_p) = \frac{\hat{s}_p}{p} \sum_{j=1}^p \prod_{i \neq j} \hat{\xi}(z_i, \bar{z}_i)$

$$\langle \delta(\vec{k}) \dots \delta(\vec{k}_p) \rangle_c = \frac{\hat{s}_p}{p} \delta(\vec{k}_1 + \vec{k}_p) \sum_{j=1}^p \prod_{i \neq j} P(k_i)$$

17)

* Autres modèles:

III 4). EPT: On garde la forme obtenue en théorie des perturbations mais on considère n comme un paramètre libre $n_{\text{eff}}[\sigma(R)]$ à l'échelle Entropique R .

Donc:

$$z(y) = -\frac{3}{2} y^{\frac{n_{\text{eff}}+3}{6}} + \frac{3}{2} y^{\frac{n_{\text{eff}}-1}{6}}$$

$$\rightarrow 0: n_{\text{eff}} \rightarrow n.$$

Note: si S_3 est fine (par ex. stable-clustering)

$$\rightarrow \infty: n_{\text{eff}} \rightarrow \frac{3(n+1)}{3+n}$$

alors $z(y)$ est fine. Ce n'est pas le cas avec notre modèle où la partie concernant les sous-densités rares continue à évoluer.

En fait, le stable-clustering qui donne $\rho(y) \sim y^{1-w}$ en $y \rightarrow \infty$ et $\rho \sim y^{-\frac{w}{1-w}}$ ne s'applique pas en $y > y_*$ avec: $y_* = \rho_*^{-\frac{1}{w}} = \frac{1}{\rho_*^{1-w}} \rightarrow \infty$ en $\delta \rightarrow \infty$.

Donc ce régime disparaît en fait dans la limite $\delta \rightarrow \infty$.

Cela signifie aussi que le cutoff de $P(\rho)$ dans les régions sous-denses est donné par les détails des paramètres S_p et ne peut pas être obtenu par le stable-clustering.

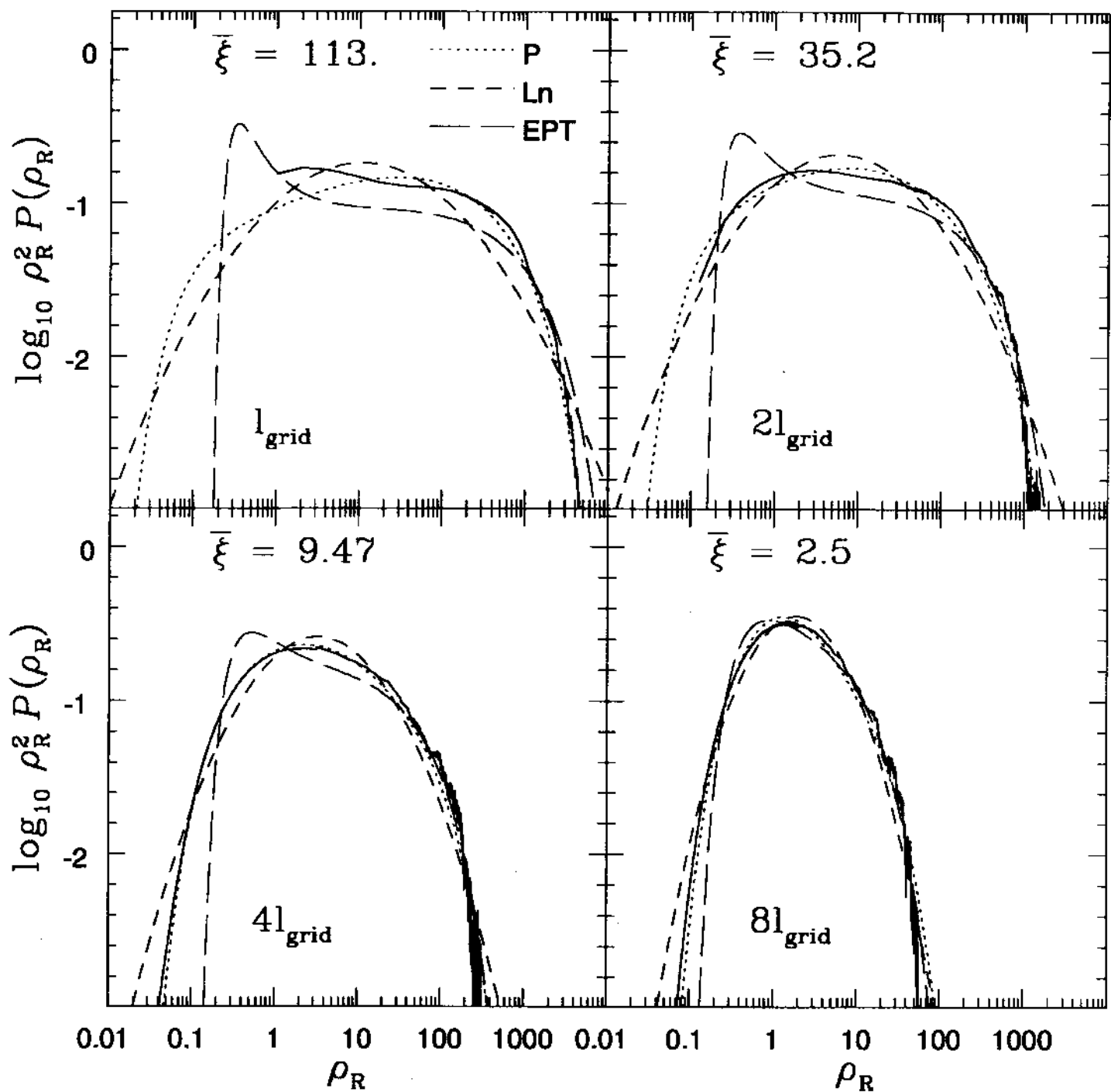
III 5). Lognormale: On peut aussi approximer $P(\rho)$ par une loi log-normale:

$$P(\rho_R) = \frac{1}{\rho_R \sqrt{2\ln(4+\delta)}} e^{-\frac{\ln^2(\rho_R \sqrt{1+\delta})}{2\ln(4+\delta)}} \quad S_3 = 3 + \delta.$$

cette prédiction pour S_3 est en bon accord avec le régime quasi-linéaire pour $n \approx -1$.

Valegas, Planchon, 2004, MNRAS, 354, 116

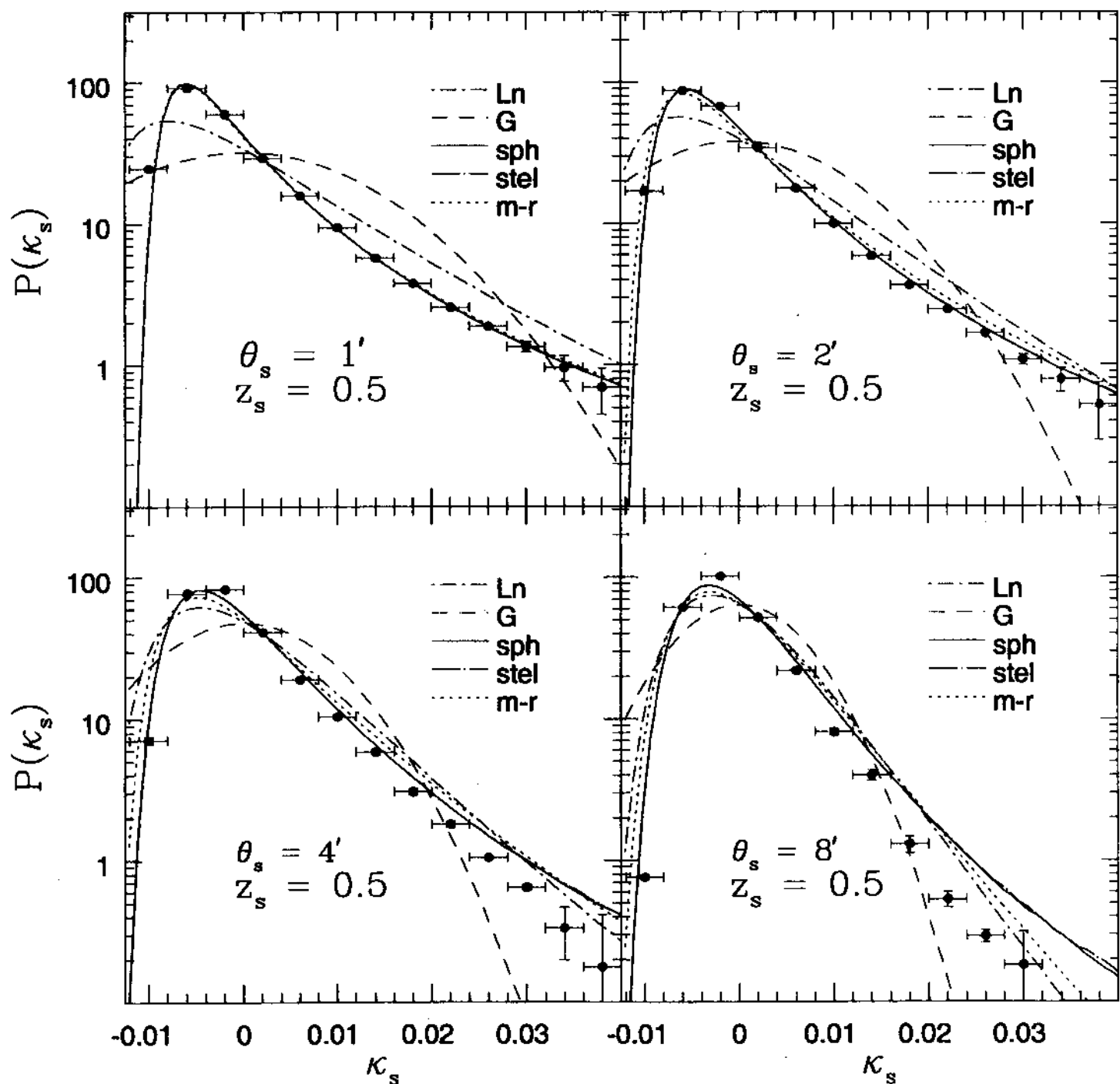
$z = 0$



Weak lensing,

Barber, Menchi, Valageas, 2004, MNRAS, 347, 667

LCDM



III(c) HEP TH

L'analyse du stable clustering ne fournit pas la valeur des coefficients S_p .

Un modèle pour cela est fourni par HEP TH.

Dans le cadre des modèles hiérarchiques on écrit:

$$S_p(\vec{z}_1, \dots, \vec{z}_p) = \langle \delta(\vec{z}_1) \dots \delta(\vec{z}_p) \rangle, \quad S_p(\vec{z}_1, \dots, \vec{z}_p) = \sum_{(G)} Q_p^{(G)} \prod_{i=1}^p \frac{1}{\pi} \int_{-\pi}^{\pi} \delta(\vec{z}_i - \vec{z}_j)$$

ce qui donne: $S_p(R) = \frac{B_p}{R^{p-1}}$ indépendant de (R, t) si $Q_p^{(G)}$ fixé, bien invariant par translation.

Il y a p^{p-2} arbres étiquetés:

$$p=3:$$

$$p=4:$$

$$p=5:$$

$$\frac{4 \times 3 \times 2}{2} = 12$$

si $Q_p^{(G)} = Q_p$, modèle dégénéré, alors $S_p = p^{p-2} Q_p$.

En Fourier on écrit: $\langle \delta(\vec{k}_1) \dots \delta(\vec{k}_p) \rangle = S_p(\vec{k}_1 + \vec{k}_p) B_p(\vec{k}_1, \dots, \vec{k}_p)$

on définit: $Q_p(\vec{k}_1, \vec{k}_p) = \frac{B_p}{\prod_{i=1}^p \int_{-\pi}^{\pi} \frac{1}{\pi} P(k_{i,0})}, \quad Q_3 = \frac{B_3}{P_1 P_2 + 2 \text{perm}}, \quad Q_4 = \frac{B_4}{P_1 P_2 P_3 + 3 \text{perm} + P_1 P_2 P_3 + 4 \text{perm}}$

$$S_p(R) = \frac{\langle S_p \rangle}{\langle k_i^2 \rangle^{p-1}} = \frac{\int d\vec{k}_1 \dots d\vec{k}_p B_p(\vec{k}_1, \vec{k}_p) \delta(\vec{k}_1 + \vec{k}_p) W_1 \dots W_p}{\left[\int d\vec{k} P(\vec{k}) W(\vec{k})^2 \right]^{p-1}} \quad P_i = P(k_{i,0}), \quad P_{ij} = P(\vec{k}_i + \vec{k}_j)$$

- perturbation théorie des perturbations à l'ordre des arbres (TL), ordre le plus bas:

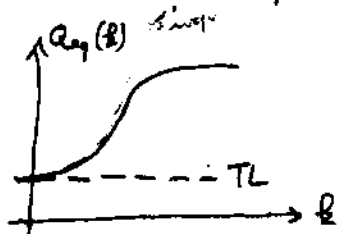
$$B(\vec{k}_1, \vec{k}_2, \vec{k}_3) = P(\vec{k}_1) P(\vec{k}_2) \left[\frac{10}{7} + \frac{\vec{k}_1 \cdot \vec{k}_2}{k_1 k_2} \left(\frac{\vec{k}_1}{k_2} + \frac{\vec{k}_2}{k_1} \right) + \frac{4}{7} \left(\frac{\vec{k}_1 \cdot \vec{k}_2}{k_1 k_2} \right)^2 \right] + 2 \text{perm.}$$

- stable-clustering:

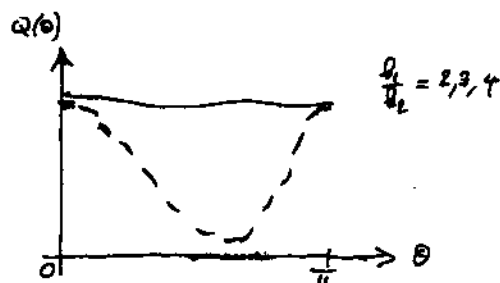
$$B(\vec{k}_1, \vec{k}_2, \vec{k}_3) = P(\vec{k}_1) P(\vec{k}_2) S(\vec{k}_{12}, \theta_{12}) + 2 \text{perm.} \quad \begin{cases} r_{ij} = \frac{k_i}{k_j} \\ \theta_{ij} = (\vec{k}_i, \vec{k}_j) \end{cases}$$

inépendant de l'échelle mais pas des angles.

Les simulations numériques montrent:



$k_1 = k_2 = k_3$
triangle équilatéral



21

Dans le régime linéaire Q_p estue et devient presque indépendant de la configuration angles θ_{ij} et raports r_{ij} . De plus, la valeur à saturation est très proche de la valeur prédite par la théorie des perturbations (TL) à $\theta=0, \pi$: configuration collinéaire. De plus, on note que $Q_p^{NL}(\theta, \pi)$ est effectivement indépendant de $\frac{k_1}{k_2}$ si $n=0$ ou -2 , et très faiblement dépendant sinon. Donc on choisit dans le régime non-linéaire: $\underline{Q_p^{NL} = Q_p^{TL}(\theta=0, \pi)}$ et $\underline{s_p^m = p^{-2} Q_p^{NL}}$.

On choisit la configuration collinéaire: $\vec{k}_1 = \dots = \vec{k}_{p-1} = \vec{q}$, $\vec{k}_p = - (p-1) \vec{q}$.

Elle donne pour $p=3$:

$$Q_3^{NL} = \frac{\hat{q} \hat{q}^m \left[\frac{10}{7} + 2 + \frac{4}{7} \right] + 2 \hat{q} \hat{q}^m (2q)^m \left[\frac{10}{7} - (p+2) + \frac{4}{7} \right]}{\hat{q} \hat{q}^{2m} + 2 \hat{q} \hat{q}^m (2q)^m} = \frac{4 + 2^{n+1} (-\frac{1}{2})}{1 + 2^{n+1}} = \frac{4 - 2^n}{1 + 2^{n+1}}$$

$$\underline{Q_3^{NL} = \frac{4 - 2^n}{1 + 2^{n+1}}}, \quad \underline{s_3^{NL} = 3 \frac{4 - 2^n}{1 + 2^{n+1}}}.$$

Pour un spectre CDT, on prend $n(R)$ donné par: $n+3 = - \frac{d \ln \sigma_L^2}{d \ln R} \Big|_R$.

Notez: on calcule n à l'échelle Entraineuse R , pas à l'échelle Lagrangienne R_L qui donne de moins bons résultats !.

On peut également interpoler B_3 du régime linéaire au non-linéaire:

$$B(\vec{k}_1, \vec{k}_2, \vec{k}_3) = P(k_1) P(k_2) \left[\frac{10}{7} a(k_1) a(k_2) + \frac{\vec{k}_1 \cdot \vec{k}_2}{k_1 k_2} \left(\frac{k_1}{k_2} + \frac{k_2}{k_1} \right) b(k_1) b(k_2) + \frac{4}{7} \left(\frac{\vec{k}_1 \cdot \vec{k}_2}{k_1 k_2} \right)^2 c(k_1) c(k_2) \right] + 3 \text{ perm.}$$

$$\text{TL: } a=b=c=1, \quad \text{NL: } a = \frac{7}{10} Q_p^{NL}, \quad b=c=0.$$

$$a(k) = \frac{1 + \sqrt{0,7 Q_p^{NL} (\beta R_0)^{n+6}}}{1 + (\beta R_0)^{n+6}}, \quad b(k) = \frac{1 + 42(n+3) (\beta R_0)^{n+3}}{1 + (\beta R_0)^{n+3,5}}, \quad c(k) = \frac{1 + \frac{4,5}{7,5 + 6(n+3)} (\beta R_0)^{n+3}}{1 + (\beta R_0)^{n+3,5}}.$$

On peut étendre ce calcul à tous les ordres $p \geq 3$.

IV.1) Collapse sphérique

Dans le cas d'une géométrie sphérique on peut suivre analytiquement l'évolution d'une sur-densité ou d'une sous-densité. L'équation du mouvement s'écrit:

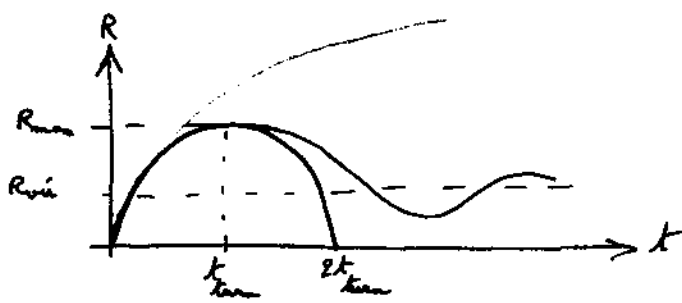
$$\ddot{R} = -\frac{g}{R^2} + \frac{4\pi G}{3} R$$

Notez. Eq. de Friedmann: $\ddot{a} = -\frac{4\pi G}{3} a (\rho + \frac{3p}{c^2}) + \frac{\Lambda c^2}{3} a$.

Dans la région sphérique se comporte comme un univers de densité différente.

Dans le cas d'un univers Einstein-de Sitter on a:

$$\ddot{R} = -\frac{g}{R^2} \quad \text{solution:} \quad \begin{cases} R = A(1-\cos\theta) \\ t = B(\theta - \sin\theta) \end{cases} \quad A^3 = gMB^2$$



Le rayon R est maximum ent.

$$\theta = \pi, \quad R = R_{\max} = 2A$$

$$t = t_{\max} = \pi B$$

La collapse est total en: $\theta = \pi, \quad R = 0, \quad t = 2t_{\max} = 2\pi B$.

La dynamique d'une région non-perturbée de même masse est:

$$\bar{\rho} = \frac{1}{6\pi G t^2}, \quad R_b^3 = \frac{3}{2} g \pi t^2, \quad \text{donc le contraste de densité } \delta \text{ est:}$$

$$\left. \begin{aligned} 4\delta &= \left(\frac{R_b}{R}\right)^3 = \frac{9}{2} \frac{(0-\sin\theta)^2}{(1-\cos\theta)^3} \\ \delta_L &= \frac{3}{20} \left(\frac{6t}{B}\right)^{2/3} = \frac{3}{20} [6(0-\sin\theta)]^{2/3} \end{aligned} \right\} \quad \text{le contraste de densité linéaire est:}$$

$$\left. \begin{aligned} \delta &= \mathcal{F}(\delta_L) \\ R_L^3 &= (4\delta) R^3 \end{aligned} \right\}$$

au moment du collage on a: $\theta = 2\pi, \quad \underline{\delta_L = \frac{3}{20} (12\pi)^{2/3} \approx 1,69}$.

La conservation de l'énergie et le théorème du viriel donnent à l'équilibre:

$$R_{\text{vir}} = \frac{R_{\max}}{2} = A.$$

23) énergie: $E = T + V$, viriel: $2T + V = 0$.

Un turn-around (densité homogène): $T = 0$, $V = -\frac{3}{10} \frac{\xi M^2}{R_{\text{turn}}}$

$$V = \frac{1}{2} \int \rho \dot{\theta}^2 \theta^2 d\theta = \frac{1}{2} \int_0^R \rho \theta^2 \dot{\theta}^2 \rho \left(-\frac{2M(\theta)}{R} \right) = -2\pi \int_0^R \rho^2 \frac{4\pi}{3} \int_0^R \rho \theta^4 = -\frac{8\pi}{5} \frac{4\pi}{3} \int_0^R \rho^2 R^5$$

$$V = -\frac{3}{10} \frac{\xi M^2}{R}$$

A la virialisation: $2T + V = 0$, $T = -\frac{V}{2}$, $E = T + V = \frac{V}{2} = E_{\text{turn}} = V_{\text{turn}}$

$$\frac{V_{\text{vir}}}{2} = V_{\text{turn}}, \quad V \propto \frac{1}{R} \quad \text{donc:} \quad R_{\text{vir}} = \frac{R_{\text{turn}}}{2} = A.$$

Donc on a le rapport de densité non-linéaire: $1+\delta_{\text{vir}} = \left(\frac{R_0}{R_{\text{vir}}} \right)^3 = 18\pi^2 \approx 178$.

En effet, au turn-around on a:

$$1+\delta = \frac{9}{2} \frac{\pi^2}{2^3} = \frac{9\pi^2}{16} \approx 5,55, \quad \text{en } 2t_{\text{turn}}.$$

$$(1+\delta_{\text{vir}}) = (1+\delta)_{\text{turn}} \times 2^3 \times 2^2 = 18\pi^2.$$

Dans le cas d'une région sous-densée on a:

$$\begin{cases} R = A(\delta h_y - 1) \\ t = B(\delta h_y - 1) \end{cases} \quad A^3 = \xi M B^2.$$

$$1+\delta = \frac{2}{\delta} \frac{(\delta h_y - 1)^2}{(\delta h_y - 1)^3}, \quad \delta_c = -\frac{3}{80} \left(\frac{A^3}{B} \right)^{2/3}.$$

Dans le cas d'un univers ouvert $\Lambda=0$, dans la limite $R_m \rightarrow 0$, on obtient pour $1+\delta = \mathcal{F}(\delta_c)$:

$$\delta(\delta_c) = \frac{1}{(1 - \frac{2}{3}\delta_c)^{3/2}} - 1.$$

C'est une très bonne approximation pour tout (R_m, R_h) et le comportement $1+\mathcal{F}(\delta_c) \propto (-\delta_c)^{3/2}$ en $\delta_c \rightarrow -\infty$ est exact.

IV^e) Press - Schechter

On note $n(m) \text{ dm}$ le nombre de halos de masse $m - m \text{ dm}$ par unité de volume.

La fraction de masse contenue dans ces halos est $\mu(m) \text{ dm}$ avec:

$$\underline{n(m) \text{ dm} = \int_m^\infty \mu(m') \text{ dm}'}$$

On identifie:

- la fraction de masse qui se trouve au-dessus du seuil s_c dans le chargé de densité linéaire liée à l'échelle m :

$$F_1(s_c, m) = \int_{s_c}^{\infty} \frac{ds}{\sqrt{2\pi}\sigma} e^{-\frac{s^2}{2\sigma^2}} = \int_{\frac{s_c}{\sigma(m)}}^{\infty} \frac{du}{\sqrt{2\pi}} e^{-\frac{u^2}{2}} \quad u = \frac{s_c}{\sigma(m)}$$

- la fraction de masse dans des objets plus massifs que m :

$$F_2(s_m) = \int_m^{\infty} dm \mu(m)$$

On dérive par rapport à m : $\mu(m) = \frac{dv}{dm} \frac{1}{\sqrt{2\pi}} e^{-\frac{v^2}{2}}$, $n(m) = \int_m^{\infty} \frac{1}{\sqrt{2\pi}} \frac{dv}{dm} e^{-\frac{v^2}{2}}$

On multiplie par un facteur 2 pour compter toute la masse:

$$\underline{\mu(m) = \sqrt{\frac{2}{\pi}} \frac{dv}{dm} e^{-\frac{v^2}{2}}} \quad \text{et} \quad \underline{n(m) = \int_m^{\infty} \sqrt{\frac{2}{\pi}} \frac{dv}{dm} e^{-\frac{v^2}{2}}}$$

On fait le changement de variable: $v = \frac{s_c(m)^2}{\sigma(m)^2}$, $v = r^2$, $\frac{dv}{dr} = 2 \frac{dr}{r}$

$$\mu(m) dm = \sqrt{\frac{2}{\pi}} \frac{dr}{r} r e^{-\frac{r^2}{2}} = \frac{1}{\sqrt{2\pi}} \frac{dr}{r} r^2 e^{-\frac{r^2}{2}}$$

Si on écrit: $\underline{n(m) dm = \int_m^{\infty} r f(r) \frac{dr}{r}}$, $\underline{r = \frac{s_c^2}{\sigma(m)^2}}$

P.S.: $\underline{r f(r) = \sqrt{\frac{r}{2\pi}} e^{-\frac{r^2}{2}}}$

Sheth & Tormen: $\underline{r f(r) = A \left[1 + (qr)^{-p}\right] \left(\frac{qr}{2\pi}\right)^{\frac{q}{2}} e^{-\frac{qr^2}{2}}$

$$\begin{cases} A = 0,32 \\ p = 93 \\ q = 0,78 \end{cases}$$

P.S.: $q=1, p=0$

→ faire des simulations, peut s'interpréter comme le résultat du collage ellipsoïdal.

IV 3) Bias des halos

La fonction de masse obtenue précédemment correspond à la densité moyenne.

Cependant, le nombre moyen de halo dépend de l'environnement : on peut chercher à calculer le nbr de halos ayant collagé à z_1 situés dans une vaste région V_0 à z_0 de densité moyenne δ_0 : $N(m_1, z_1 | \delta_0, V_0, z_0)$

$$\text{On écrit: } N(m_1, z_1 | \delta_0, V_0, z_0) = n(m_1, z_1 | \delta_{L0}, V_{L0}) V_{L0} \quad \left\{ \begin{array}{l} V_{L0} = V_0 (1 + \delta_0) \\ \delta_0 = F(\delta_{L0}) \text{ dynamique sphérique} \end{array} \right.$$

$$\text{On a déjà calculé } n(m_1, z_1) = n(m_1, z_1 | \delta_{L0}=0, V_{L0}=\infty). \quad \delta_{L0} \approx z_0$$

Comme pour Press-Schechter, on calcule : $P(\delta_{L0} < \delta_{L0c}, m_1 | \delta_0, m_0)$
 \rightarrow probabilité conditionnelle.

$$\text{Calcul par les fonctions génératrices: } \psi(y) = \langle e^{-y \delta_{L0}} \rangle = \int [d\delta_{L0}] e^{-y \delta_{L0} - \frac{1}{2} \delta_{L0} \cdot \Delta_L^T \cdot \delta_{L0}}$$

$$\psi(y) = \int_{-\infty}^{\infty} d\delta_{L0} P(\delta_{L0}) e^{-y \delta_{L0}}, \quad P(\delta_{L0}) = \int \frac{dt}{2\pi i} \psi(t) e^{t \delta_{L0}}$$

$$\text{Contrainte } \delta_{L0}: \quad \psi_0(y) = \int [d\delta_{L0}] e^{-y \delta_{L0} - \frac{1}{2} \delta_{L0} \cdot \Delta_L^T \cdot \delta_{L0}} \delta_0 (\delta_{L0} - \delta_{L0})$$

$$\psi_0(y) = \int [d\delta_{L0}] \int dt e^{-y \delta_{L0} + it(\delta_{L0} - \delta_{L0}) - \frac{1}{2} \delta_{L0} \cdot \Delta_L^T \cdot \delta_{L0}}$$

$$\text{avec: } \delta_{L0} = \int_{V_{L0}} \frac{dx}{V_{L0}} \delta_L(x) = F_L \cdot \delta_L, \quad \hat{\delta}_{L0} = F_0 \cdot \delta_0$$

$$\left\{ \begin{array}{l} F_L(z) = \frac{\Theta(z < R_M)}{V_{L0}} \\ F_0(z) = \frac{\Theta(z < R_B)}{V_{L0}} \end{array} \right.$$

$$\psi_0(y) = \int dt \int [d\delta_{L0}] e^{-it \delta_{L0} + (y F_L + it F_0) \cdot \delta_L - \frac{1}{2} \delta_L \cdot \Delta_L^T \cdot \delta_L}$$

$$\psi_0(y) = \int dt \int dx e^{-it \delta_{L0} + \frac{1}{2} (-y F_L + it F_0) \cdot \Delta_L \cdot (-y F_L + it F_0)}$$

$$\psi_0(y) = \int dt \int dx e^{-it \delta_{L0} + \frac{1}{2} F_L^2 \Delta_L \cdot F_L - \frac{1}{2} F_0^2 \Delta_L \cdot F_0 + -it y F_L \cdot \Delta_L \cdot F_0}$$

$$\text{On note: } \sigma_0^2 = F_0 \cdot \Delta_L \cdot F_0, \quad \sigma_L^2 = F_L \cdot \Delta_L \cdot F_L, \quad \sigma_{L0}^2 = F_L \cdot \Delta_L \cdot F_0$$

$$\psi_0(y) = \int dt \int dx e^{-it \delta_{L0} + \frac{\sigma_L^2}{2} y^2 - \frac{1}{2} \sigma_0^2 - it y \sigma_{L0}^2} = \int dt e^{-\frac{1}{2} [\sigma_0^2 t + i(\frac{\sigma_L^2}{2} + \frac{\sigma_{L0}^2}{\sigma_0})] - \frac{1}{2} (\frac{2\sigma_{L0}^2 t}{\sigma_0})^2 + \frac{\sigma_L^2}{2} y^2}$$

$$\psi_0(y) = e^{\frac{1}{2} \sigma_L^2 y^2 - \frac{1}{2} y^2 \frac{\sigma_{L0}^4}{\sigma_0^2} - y \frac{\sigma_{L0}^2 \delta_{L0}}{\sigma_0^2}} \quad \text{car } \psi_0(0) = 1.$$

$$\text{Donc: } P(\delta_{\ell_1} | \delta_{\ell_0}) = \int \frac{dy}{2\pi i} e^{y \delta_{\ell_1} + \frac{1}{2} y^2 \sigma_1^2 - \frac{1}{2} y^2 \frac{\sigma_{\ell_0}^2}{\sigma_1^2} - y \frac{\sigma_{\ell_0}^2 \delta_{\ell_0}}{\sigma_1^2}}$$

$$P(\delta_{\ell_1} | \delta_{\ell_0}) = \int \frac{dy}{2\pi i} e^{y (\delta_{\ell_1} - \frac{\sigma_{\ell_0}^2}{\sigma_1^2} \delta_{\ell_0}) + \frac{1}{2} y^2 (\sigma_1^2 - \frac{\sigma_{\ell_0}^2}{\sigma_1^2})} = \frac{1}{\sqrt{2\pi(\sigma_1^2 - \frac{\sigma_{\ell_0}^2}{\sigma_1^2})}} e^{-\frac{1}{2} (\delta_{\ell_1} - \delta_{\ell_0} \frac{\sigma_{\ell_0}^2}{\sigma_1^2})^2 / (\sigma_1^2 - \frac{\sigma_{\ell_0}^2}{\sigma_1^2})}$$

$$\text{Soit: } \frac{z^2}{\sigma_1^2}, \quad c^2 = \frac{\sigma_{\ell_0}^4}{\sigma_1^2 \sigma_1^2}$$

$$P(\delta_{\ell_1}, \delta_{\ell_0}) = \frac{1}{\sqrt{2\pi(1-c^2)} \sigma_1} e^{-\frac{1}{2} \frac{(\delta_{\ell_1} - \delta_{\ell_0} \frac{c}{\sigma_1})^2}{\sigma_1^2(1-c^2)}}$$

$$F(>m) = \int_m^\infty dm \mu_0(m) = \int_{\frac{m}{\sigma_1}}^\infty \frac{dr}{\sqrt{2\pi}} e^{-\frac{1}{2} r^2} \quad r = \frac{\delta_{\ell_1} - \delta_{\ell_0} \frac{c}{\sigma_1}}{\sigma_1 \sqrt{1-c^2}}$$

Donc on trouve la même formule en terme de r' en faisant: $r' \rightarrow r' = \frac{(\delta_{\ell_1}(z_1) - \delta_{\ell_0} \frac{c}{\sigma_1})^2}{\sigma_1^2(1-c^2)}$

$$\sigma_0^2 = \int_{R_0}^{\infty} \frac{dk k dk'}{V_0^2} A_k(z_1, z_1) = \sigma^2(R_0), \quad \sigma_1^2 = \sigma^2(R_0), \quad \sigma_{\ell_0}^2 = \int_{R_0}^{\infty} \frac{dk z_1}{V_0} \left\{ \frac{dk}{V_0} A_k(z_1, z_1) \right\}$$

$$\text{En Fourier: } \sigma_0^2 = \int d\vec{k} P_L(k) W(k R)^2, \quad \sigma_1^2 = \int d\vec{k} P_L(k) W(k R_1)^2$$

$$\sigma_{\ell_0}^2 = \int d\vec{k} P_L(k) W(k R_0) W(k R_1) \quad W(0) = 1.$$

$$\text{top-hat réel: } W(kR) = 3 \frac{\sin(kR) - kR \cos(kR)}{(kR)^3}$$

$$\text{top-hat en Fourier: } W(kR) = \Theta(kR < 1)$$

$$\text{dans ce cas: } R_1 < R_0, \quad \sigma_1^2 = \sigma_0^2, \quad c^2 = r^2 = \frac{\sigma_0^2}{\sigma_1^2}, \quad r' = \frac{(\delta_{\ell_1}(z_1) - \delta_{\ell_0})^2}{\sigma_1^2 - \sigma_0^2}$$

$$\text{Donc: } n(m_{\ell_1}, g_{\ell_1} | \delta_{\ell_0}, V_0) dm_{\ell_1} = \int_{m_{\ell_1}}^{\infty} r' f(r') \frac{dr'}{r'}$$

La succéSSION de halos dans la région V_0 est donc:

$$1 + \delta_R(m_{\ell_1}, g_{\ell_1} | \delta_{\ell_0}, V_0) = \frac{n(m_{\ell_1}, g_{\ell_1} | \delta_{\ell_0}, V_0) V_0}{n(m_{\ell_1}, g_{\ell_1}) V_0} = (1 + \delta_0) \frac{n(m_{\ell_1}, g_{\ell_1} | \delta_{\ell_0}, V_0)}{n(m_{\ell_1}, g_{\ell_1})}$$

On se place dans la limite de grande échelle où $\sigma_0 \ll 1$ et $\sigma_0 \ll \sigma_1$, $\delta_0 \approx \delta_{\ell_0}$ et $|\delta_0| \ll 1$.

$$\text{et alors, } r' = \frac{(\delta_{\ell_1}(z_1) - \delta_{\ell_0})^2}{\sigma_1^2}, \quad n(m_{\ell_1}, g_{\ell_1} | \delta_{\ell_0}, V_0) \approx n(m_{\ell_1}, g_{\ell_1}) - \delta_{\ell_0} \frac{\partial n}{\partial \delta_{\ell_1}} + \dots$$

$$1 + \delta_R = (1 + \delta_0) \left(1 - \delta_{\ell_0} \frac{\partial \ln n}{\partial \delta_{\ell_1}} \right) \approx 1 + \delta_0 - \delta_{\ell_0} \frac{\partial \ln n}{\partial \delta_{\ell_1}}$$

On prend $\bar{s}_0 = \bar{s}_0 = 0$.

On a obtenu (P5): $n = \frac{\rho}{m} \sqrt{\frac{c}{2\pi}} e^{-\frac{c}{2}} \frac{d\ln r}{dm}$, $r = \frac{dc^2}{\sigma^2}$, $\frac{d\ln r}{dm} = -2 \frac{d\ln \sigma}{dm}$

$$\frac{\partial \ln n}{\partial \delta_{c_1}} = \frac{\partial}{\partial \delta_{c_1}} \left[\frac{1}{2} d\ln r - \frac{c}{2} \right] = \frac{\partial r}{\partial \delta_{c_1}} \left(\frac{1}{2} - \frac{1}{2} \right) \quad \text{et} \quad \frac{\partial r}{\partial \delta_{c_1}} = \frac{2\delta_{c_1}}{\sigma^2} = \frac{2r}{\delta_{c_1}}$$

$$\frac{\partial \ln n}{\partial \delta_{c_1}} = \frac{2r}{\delta_{c_1}} \left(\frac{1}{2} - \frac{1}{2} \right) = \frac{1-r}{\delta_{c_1}}$$

Donc: $1 + \delta_h = 1 + \delta_0 - \delta_0 \frac{1-r}{\delta_{c_1}} = 1 + \delta_0 \left(1 + \frac{r-1}{\delta_{c_1}} \right)$

$$\underline{\delta_h(m|\delta_0) \approx b(m) \delta_0} \quad \text{avec} \quad \underline{b(m) = 1 + \frac{r-1}{\delta_0(\bar{s}_1)}}$$

On trouve que les halos massifs, $r \gg 1$, sont plus corrélates que la matière noire, alors que les halos de petite masse sont moins corrélates.

Les halos qui se sont réalisés il y a longtemps ne sont pas biaisis ($\delta_0 \gg 1$).

Si on utilise la fonction de masse de S.T. en faisant encore $r \rightarrow r_{10}$ on a:

$$\underline{b(m) = 1 + \frac{q^{r-1}}{\delta_0(\bar{s}_1)} + \frac{2p}{\delta_0(\bar{s}_1)[1+(q^{r-1})^p]}}$$

Notez: par construction $b(m)$ vérifie: $\int_0^\infty \frac{m}{\rho} n(m) b(m) dm = 1$.

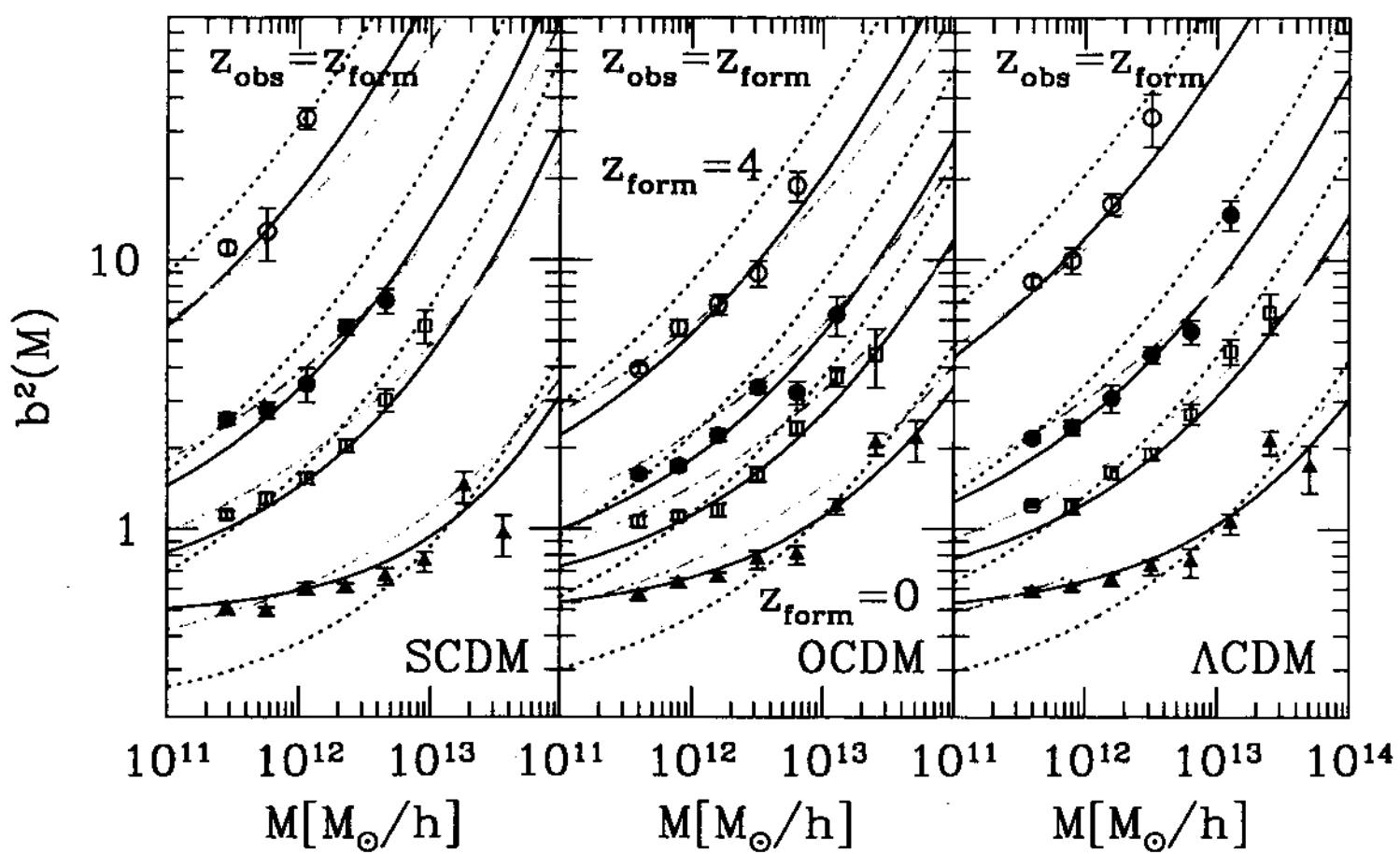
En effet: donc de grandes cellules on a par construction:

$$n(m|\delta) \approx [1 + b(m)\delta] n(m)$$

$$\int dm n(m|\delta) \frac{m}{\rho} = 1 + \delta = \int dm [1 + b(m)\delta] n(m) \frac{m}{\rho} = 1 + \delta \int dm \frac{m}{\rho} n(m) b(m)$$

Sheth, Tormen, 1999, MNRAS, 308, 119

bias des halos



29)

IV 4)

Profils de densité

Les simulations numériques suggèrent des profils de la forme:

$$\rho(z) = \frac{\rho_0}{\left(\frac{z}{z_c}\right) \left(1 + \frac{z}{z_c}\right)^2} \quad (\text{NFW})$$

$$\rho(z) = \frac{\rho_0}{\left(\frac{z}{z_c}\right)^{4.5} \left[1 + \left(\frac{z}{z_c}\right)^{4.5}\right]} \quad \text{NGG}$$

$$m = \int_0^{R_{\text{vir}}} dz \frac{4\pi}{3} r^2 \rho(z)$$

$$m = 4\pi \rho_0 z_c^3 \left[\ln(1+z_c) - \frac{c}{1+z_c} \right] \quad \text{NFW}$$

$$m = 4\pi \rho_0 z_c^3 \frac{2 \ln(1+z_c^{4.5})}{3} \quad \text{NGG}$$

où on a défini la concentration:

$$c = \frac{R_{\text{vir}}}{z_c}$$

$$\text{NFW: } \bar{c}(m) \approx 9 \left(\frac{m}{m_*}\right)^{-0.13}$$

$$\text{NGG: } \bar{c}(m) \approx 6 \left(\frac{m}{m_*}\right)^{-0.15} \quad (\sigma(m_*) = \delta_c).$$

La densité de cœur ρ_0 est proportionnelle à $\bar{\rho}(z_f)$ où z_f est le redshift de formation du halo. Pour $m \gg m_*$: $z_f \approx 0$, $\rho_0 \approx (1 + \Delta_{\text{vir}}) \bar{\rho}$ et $r_c \approx R_{\text{vir}}$, $c \approx 1$, pour $m \ll m_*$: $(1 + z_f) \sim \sigma(m) \sim \left(\frac{m}{m_*}\right)^{-\frac{1}{3}}$, $\rho_0 \approx (1 + \Delta_{\text{vir}}) \bar{\rho} \left(\frac{m}{m_*}\right)^{-\frac{n+3}{2}}$

$$\underline{m \gg m_*}: \quad z_f = 0, \quad \rho_0 \approx (1 + \Delta_{\text{vir}}) \bar{\rho}, \quad r_c \approx R_{\text{vir}}, \quad c \approx 1$$

$$\underline{m \ll m_*}: \quad (1 + z_f) \sim \sigma(m) \sim \left(\frac{m}{m_*}\right)^{-\frac{1}{3}}, \quad \rho_0 \approx (1 + \Delta_{\text{vir}}) \bar{\rho} \left(\frac{m}{m_*}\right)^{-\frac{n+3}{2}}$$

$$m \sim \rho_0 r_c^3 \sim (1 + \Delta_{\text{vir}}) \bar{\rho} \left(\frac{m}{m_*}\right)^{\frac{n+3}{2}} \sim (1 + \Delta_{\text{vir}}) \bar{\rho} R_{\text{vir}}^3, \quad R_{\text{vir}}^3 \sim r_c^3 \left(\frac{m}{m_*}\right)^{-\frac{n+3}{2}}$$

$$\therefore c \sim \left(\frac{m}{m_*}\right)^{-\frac{n+3}{6}}$$

Fonction de corrélation

On décrit le champ de matière comme une collection de halos:

$$\rho(\vec{z}) = \sum_i \rho(\vec{z} - \vec{z}_i | m_i) = \sum_i \int dm d\vec{z}' \delta(m-m_i) \delta_0(\vec{z}' - \vec{z}_i) m u(\vec{z} - \vec{z}' | m)$$

$$u: \text{profil normalisé: } u(\vec{z} - \vec{z}_i | m) = \frac{1}{m} \rho(\vec{z} - \vec{z}_i | m), \quad \int dm u(\vec{z} - \vec{z}_i | m) = 1.$$

$$\text{La densité de halos est: } \langle \sum_i \delta_0(m-m_i) \delta_0(\vec{z}' - \vec{z}_i) \rangle = n(m)$$

$$\bar{\rho} = \langle \rho(\vec{z}) \rangle = \int dm d\vec{z}' n(m) m u(\vec{z} - \vec{z}' | m) = \int dm n(m) m$$

$$\text{De même, la fonction de corrélation est: } \xi(\vec{z} - \vec{z}') = \xi^{1h}(\vec{z} - \vec{z}') + \xi^{2h}(\vec{z} - \vec{z}')$$

ξ^{1h} : les 2 pts sont dans le même halo

ξ^{2h} : les 2 pts sont dans des halos différents

$$\left\{ \begin{array}{l} \xi^{1h}(\vec{z} - \vec{z}') = \int dm_1 \frac{m_1^2 n(m_1)}{p^2} \int dm_2 u(\vec{z} - \vec{z}_1 | m_1) u(\vec{z}' - \vec{z}_1 | m_1) \\ \xi^{2h}(\vec{z} - \vec{z}') = \int dm_1 \frac{m_1^2 n(m_1)}{p} \int dm_2 \frac{m_2 n(m_2)}{p} \int dm_1 u(\vec{z} - \vec{z}_1 | m_1) \int dm_2 u(\vec{z}' - \vec{z}_2 | m_2) \xi_{2h}(\vec{z}_1 - \vec{z}_2 | m_1, m_2) \end{array} \right.$$

ξ_{2h} : corrélation de 2 halos

$$\vec{z}_1 - \vec{z}_2 = \vec{z} - \vec{z}' + \vec{z}_1 - \vec{z} + \vec{z}' - \vec{z}_2 \approx \vec{z} - \vec{z}' \quad \text{pour des échelles} \gg \text{taille des halos.}$$

On écrit:

$$\xi_{2h}(z | m_1, m_2) \approx b(m_1) b(m_2) \xi_L(z)$$

Noter: à grande échelle $\vec{z}_1 - \vec{z}_2 \approx \vec{z} - \vec{z}'$, $\xi_{2h}(\vec{z}_1 - \vec{z}_2 | m_1, m_2) \approx b(m_1) b(m_2) \xi_L(\vec{z} - \vec{z}')$

$$\text{ou: } \int dm \frac{m^2}{p} n(m) b(m) = 1, \quad \text{donc: } \xi^{2h}(\vec{z} - \vec{z}') \approx \xi_L(\vec{z} - \vec{z}') \quad \text{à grande échelle}$$

On utilise $\xi_L(z)$ au lieu de $\xi(z)$ aux échelles intermédiaires ou suréstime ξ_{2h} car on n'a pas tenu compte des effets d'exclusion. En fait, la comparaison avec les simulations montre que cette approximation est suffisante. De plus, aux petites échelles ξ est dominée par ξ^{1h} .

IV^{6°}) Spectre de puissance

$$\text{On a: } P(\vec{k}) = \int d\vec{z} e^{i\vec{k} \cdot \vec{z}} S(z), \quad u(\vec{k}) = \int d\vec{z} e^{i\vec{k} \cdot \vec{z}} \rho(z)$$

$$\text{On a à nouveau 2 contributions: } P(\vec{k}) = P^{1k}(\vec{k}) + P^{2k}(\vec{k})$$

$$P^{1k}(\vec{k}) = \int dm_1 \left(\frac{m}{\rho}\right)^2 n(m) \int d\vec{z} e^{i\vec{k} \cdot \vec{z}} \int d\vec{z}_1 \int \frac{d\vec{k}_1 d\vec{k}_2}{(2\pi)^3} e^{i\vec{k}_1 \cdot (\vec{z}-\vec{z}_1)} e^{-i\vec{k}_2 \cdot \vec{z}_1} u(\vec{k}_1|m_1) u(\vec{k}_2|m_2) \quad (\text{on } \vec{z} = c$$

$$\int \frac{d\vec{z}_1}{(2\pi)^3} \rightarrow \delta(\vec{k}_1 + \vec{k}_2), \quad \int \frac{d\vec{k}_2}{(2\pi)^3} \rightarrow \delta(\vec{k}_1 - \vec{k})$$

$$P^{1k}(\vec{k}) = \int dm_1 \left(\frac{m}{\rho}\right)^2 n(m) u(\vec{k}|m_1) u(-\vec{k}|m) = \left| \int dm_1 \left(\frac{m}{\rho}\right)^2 n(m) f_u(\vec{k}|m) \right|^2$$

$$P^{2k}(\vec{k}) = \int dm_1 \frac{m}{\rho} n(m_1) \int dm_2 \frac{m}{\rho} n(m_2) \int d\vec{z} e^{i\vec{k} \cdot \vec{z}} \int d\vec{z}_1 d\vec{z}_2 \int \frac{d\vec{k}_1 d\vec{k}_2 d\vec{k}'}{(2\pi)^9} e^{i\vec{k}_1 \cdot (\vec{z}-\vec{z}_1)} e^{-i\vec{k}_2 \cdot \vec{z}_1} e^{i\vec{k}' \cdot (\vec{z}-\vec{z}_2)} \\ \times u(\vec{k}_1|m_1) u(\vec{k}_2|m_2) \xrightarrow{\text{Poisson}} P_{kk}(\vec{k}|m_1, m_2)$$

$$\int \frac{d\vec{z}_1}{(2\pi)^3} \rightarrow \delta(-\vec{k} + \vec{k}_1), \quad \int \frac{d\vec{z}_2}{(2\pi)^3} \rightarrow \delta(-\vec{k}_1 + \vec{k}'), \quad \int \frac{d\vec{z}}{(2\pi)^3} \rightarrow \delta(-\vec{k}_2 - \vec{k}')$$

$$P^{2k}(\vec{k}) = \int dm_1 \frac{m}{\rho} n(m_1) \int dm_2 \frac{m}{\rho} n(m_2) u(\vec{k}|m_1) u(\vec{k}|m_2) P_{kk}(\vec{k}|m_1, m_2)$$

$$\text{On apprécie: } P_{kk}(\vec{k}|m_1, m_2) = \delta(m_1) \delta(m_2) P_k(\vec{k}).$$

* On peut noter 2 problèmes: . $\int d\vec{z} 4\pi r^2 \delta(z) \neq 0$ soit $P(\vec{k}=0) \neq 0$

. $P^{1k}(\vec{k} \rightarrow 0) \rightarrow \int dm \left(\frac{m}{\rho}\right)^2 n(m) = c^4 > 0$

donc en $\vec{k} \rightarrow 0$, P^{1k} domine sur $P^{2k} \approx P_k(\vec{k}) \rightarrow 0$.

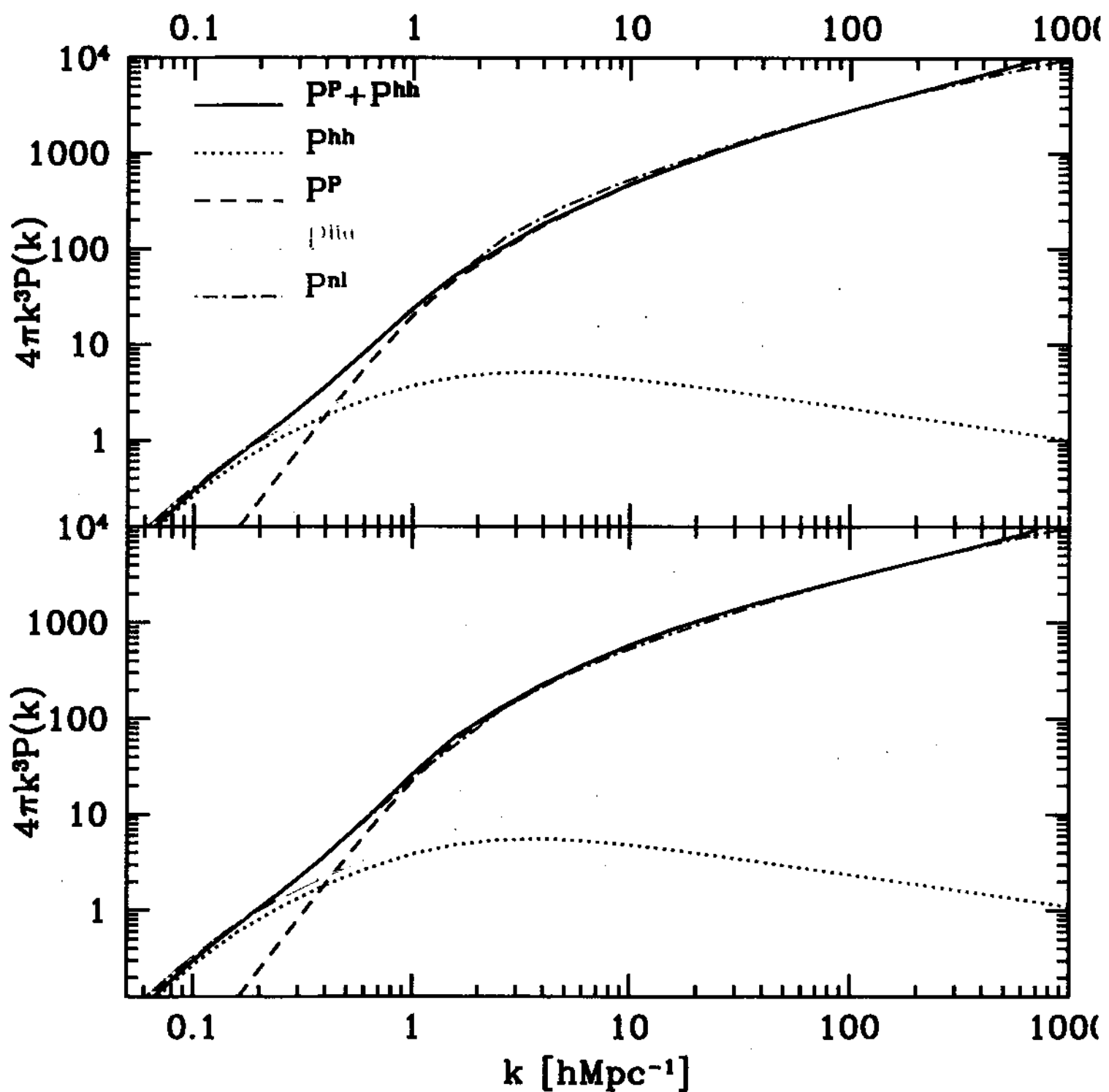
\Rightarrow On peut faire établir des profils compensés: $\int d\vec{z} u(\vec{z}-\vec{z}_0|m_i) = 0$, $u(\vec{z}=0|m_i) = 0$.

Dans ce cas on a bien $\int d\vec{z} 4\pi r^2 \delta(z) = 0$, $P^{1k}(\vec{k} \rightarrow 0) \rightarrow 0$, mais à la limite de grandes échelles on a:

$$P^{1k}(\vec{k}) \sim u(\vec{k})^2, \quad P^{2k}(\vec{k}) \sim u(\vec{k})^2 P_k(\vec{k})$$

\rightarrow il n'y a pas assez de puissance à grande échelle et on ne retrouve pas $P_k(\vec{k})$.

Modèle de halos : spectre de puissance DM .
 Seljak, 2000, MNRAS, 318, 203



IV 7°)

Galaxies

Les galaxies se forment à l'intérieur des halos de matière noire. On écrit:

$$P_{\text{gal}}(k) = P_{\text{gal}}^{1h}(k) + P_{\text{gal}}^{2h}(k) \quad \text{avec:}$$

$$\left\{ \begin{array}{l} P_{\text{gal}}^{1h}(k) = \int dm n(m) \frac{\langle N_{\text{gal}}(N_{\text{gal}-1})|_m \rangle}{\bar{n}_{\text{gal}}^2} |u_{\text{gal}}(k|m)|^p \\ P_{\text{gal}}^{2h}(k) = P_L(k) \left[\int dm n(m) b(m) \frac{\langle N_{\text{halo}}|_m \rangle}{\bar{n}_{\text{gal}}} u_{\text{gal}}(k|m) \right]^2 \end{array} \right.$$

P^{1h} : $\langle N_{\text{gal}}(N_{\text{gal}-1}) \rangle$: les halos avec $N_{\text{gal}}=1$ ne contribuent pas à la fonction de corrélation à 2 points à travers P^{1h} .

P^{2h} : on a utilisé: $P_{\text{gal}}(k) \approx b(m) b(m_2) P_L(k)$.

$$\bar{n}_{\text{gal}} = \int dm n(m) \langle N_{\text{gal}}|_m \rangle$$

$$\text{Aux grandes échelles on obtient: } P_{\text{gal}}(k) = P_{\text{gal}}^{2h}(k) \approx b_{\text{gal}}^2 P_L(k)$$

$$\text{avec: } b_{\text{gal}} = \int dm n(m) b(m) \frac{\langle N_{\text{gal}}|_m \rangle}{\bar{n}_{\text{gal}}}.$$

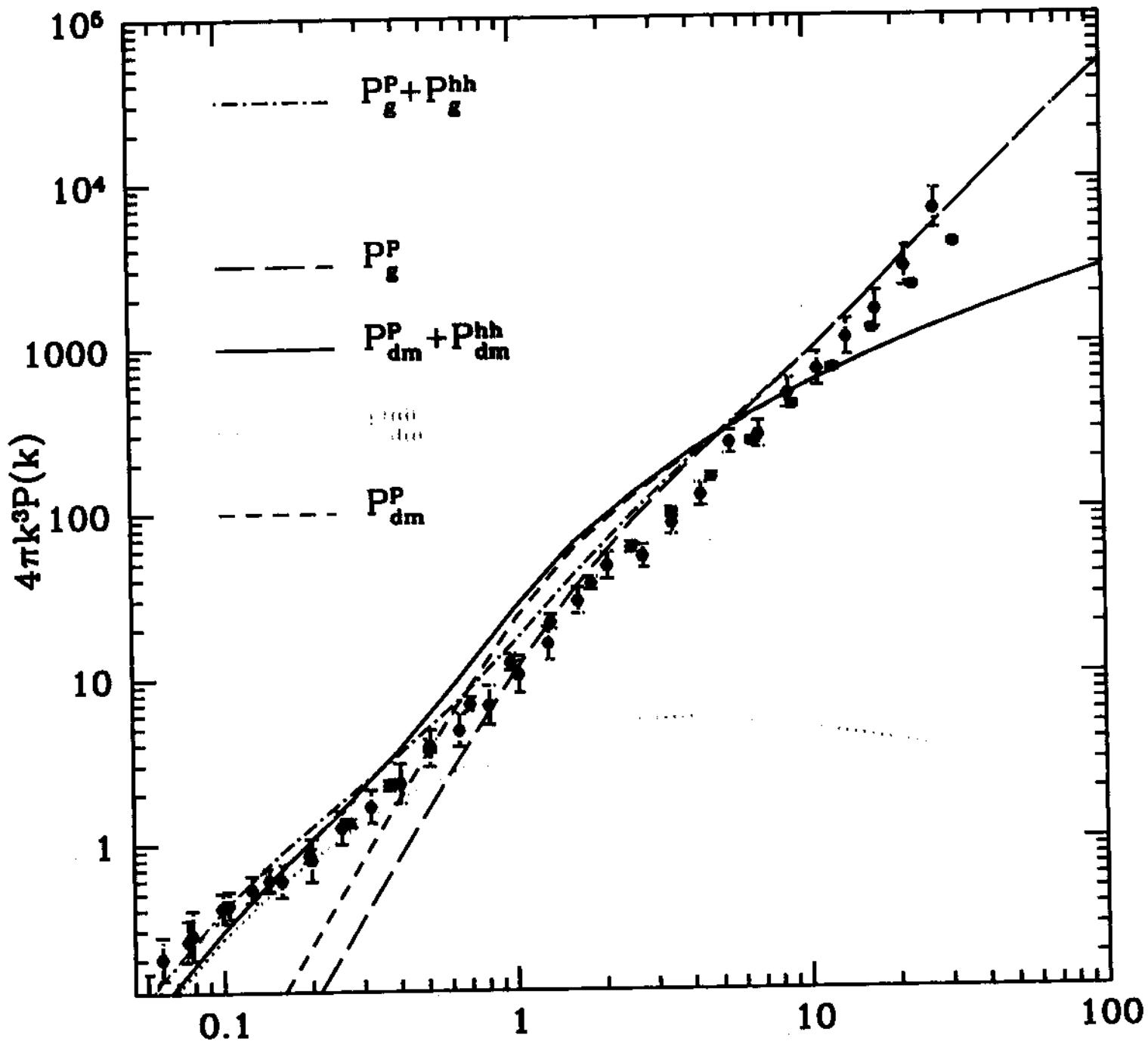
De plus, dans $P_{\text{gal}}^{1h}(k)$ on prend $p=2$ si $\langle N(N-1) \rangle > 1$, car dans la limite de nombreuses galaxies les paires sont dominées par les galaxies du halo, et on prend $p=1$ si $\langle N(N-1) \rangle < 1$ car dans ce cas opposé les paires sont dominées par la galaxie centrale associée à une galaxie du halo.

On voit que les galaxies suivent la matière noire seulement si on a:

- $\langle N_{\text{gal}}|_m \rangle \propto m$, $\langle N_{\text{gal}}(N_{\text{gal}-1}) \rangle \propto m^2$
- il y a de nombreuses galaxies par halo: $p=2$
- $u_{\text{gal}}(k|m) \propto u(k|m)$: les galaxies suivent la matière noire de chaque halo.

Modèle de halos : spectre de puissance DM et galaxies

Seljak, 2000, MNRAS, 318, 203



Les simulations donnent : $\langle N \rangle$ et $\langle N(N-1) \rangle$ augmentant moins vite que m^2 , car les halos massifs sont plus chauds et le gaz prend plus de temps pour se refroidir. De plus, les petites galaxies ont $N \approx 1$ de sorte que

$\langle N(N-1) \rangle < \langle N \rangle^2$ et le terme P^{th} est atténué par rapport à P^{th} en comparaison de la matière noire. Cela explique le comportement observé aux échelles de transition où $D_{\text{gal}}^2(k) \sim 1$.

Par contre, en filos on a plus de puissance pour $P_{\text{gal}}^{\text{th}}(k)$ que pour la matière noire grâce aux halos qui n'ont qu'une galaxie centrale, ce qui change $a(k)^2$ en $a(k)$.

IV 8)

Distribution des vitesses

Chaque particule est dans un halo : $v = v_{\text{vir}} + v_{\text{halo}}$.

On suppose : $\sigma^2(m) = \sigma_{\text{vir}}^2(m) + \sigma_{\text{halo}}^2(m)$.

• viriel : $\sigma_{\text{vir}}^2 \propto \frac{Gm}{R} \sim m^{2/3} (\text{Avec } \bar{\rho})^{1/3}$ car $\frac{m}{R^3} \sim \Delta \propto \bar{\rho}$.

$$\text{donc } \sigma_{\text{vir}}^2 \propto m^{2/3}$$

• vitesse des halos : on utilise la théorie linéaire liée à l'échelle R :

$$\sigma_{\text{halo}}^2(m) \sim \int dR \frac{P(R)}{R^2} W(R/m)^2 \propto C^2/m$$

rajoute la contrainte de puissance pas beaucoup le résultat.

On écrit donc pour la distribution de vitesse le long de la ligne de visée :

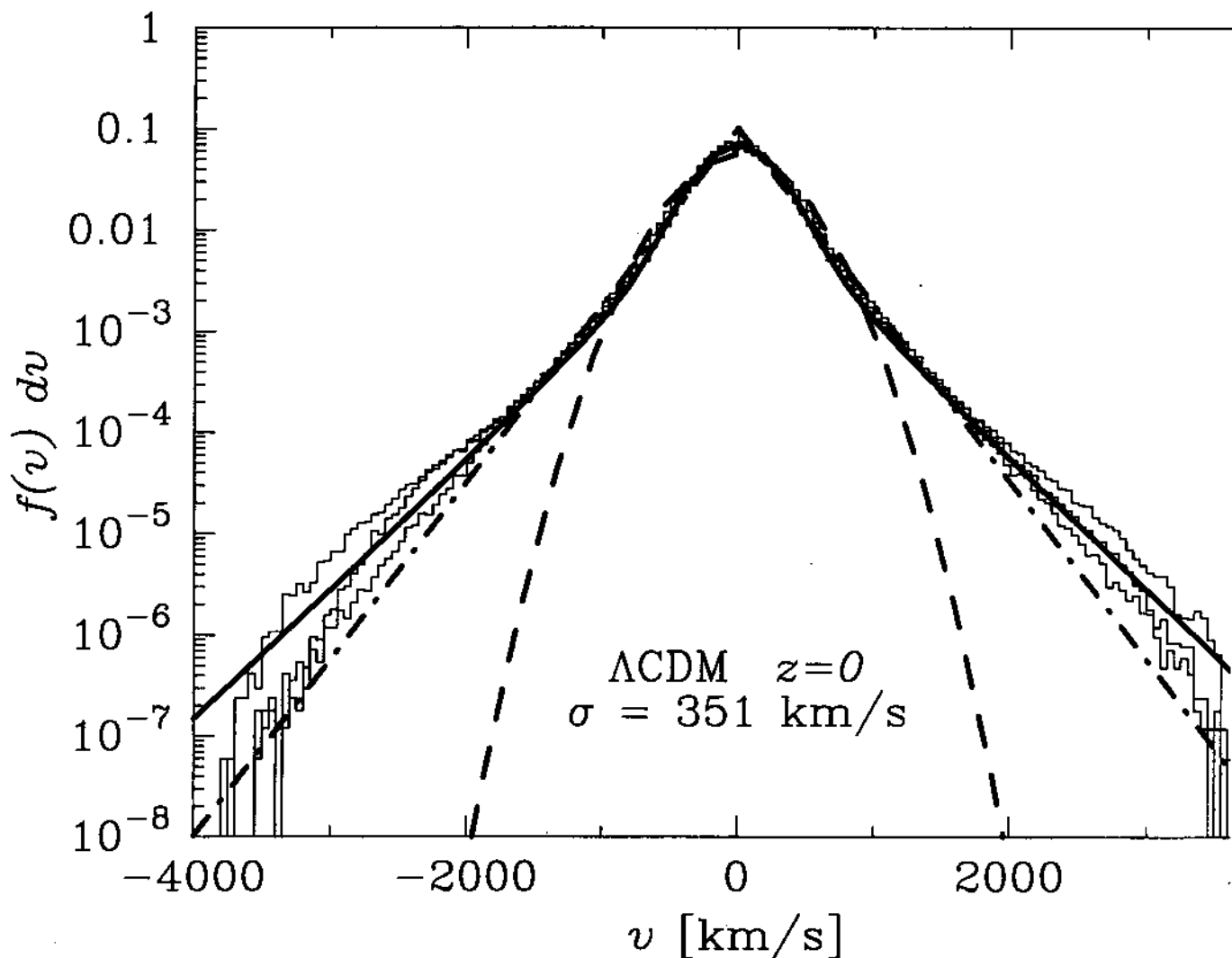
$$f(v) = \int dm \frac{2}{\sigma^2} n(m) P(v|m) \quad \text{et} \quad P(v|m) = \frac{1}{\sqrt{2\pi}\sigma} e^{-\frac{v^2}{2\sigma^2}} \quad \sigma^2 = \frac{\sigma_{\text{vir}}^2 + \sigma_{\text{halo}}^2}{3}$$

On obtient un cœur Gaussien et des queues de distribution moins abruptes, car $\sigma_{\text{vir}}^2 \propto m^{2/3}$.

36

Modèle de halos: distribution de vitesses

Cooray, Sheth, 2002, Phys. Rep., 372, 1



Hierarchie BBGKY et modèles hiérarchiques

Les modèles hiérarchiques supposent : $\xi_p(\vec{x}_1; \dots; \vec{x}_p) = \sum_{\alpha} Q_p^{\alpha} \sum_{\vec{p}} \prod_{i=1}^p \xi_i(\vec{x}_i, \vec{p}_i)$

$$\text{En particulier: } \xi_3(\vec{x}_1, \vec{x}_2, \vec{x}_3) = Q_3 \left[E \xi_{12} \xi_{23} + \xi_{23} \xi_{31} + \xi_{31} \xi_{12} \right]$$

$$\xi_4(\vec{x}_1, \vec{x}_2, \vec{x}_3, \vec{x}_4) = Q_4 \left[\xi_{12} \xi_{23} \xi_{34} + \dots \right] + Q_4^* \left[\xi_{12} \xi_{13} \xi_{14} + \dots \right]$$

12 termes
snake 4 termes
star

On peut essayer dans l'espace des phases :

$$g_N(\vec{x}_1, \vec{p}_1; \dots; \vec{x}_N, \vec{p}_N) = E_N(\vec{p}) \sum_{\alpha} Q_N^{\alpha} \sum_{\vec{k}} \prod_{i=1}^{N-1} C_{ij}$$

$$\vec{p} = \frac{\vec{p}_1 + \dots + \vec{p}_N}{N}, \quad C_{ij} = C(\vec{x}_{ij}, \vec{p}_{ij}) \quad \vec{x}_{ij} = \vec{x}_i - \vec{x}_j, \quad \vec{p}_{ij} = \vec{p}_i - \vec{p}_j$$

$$\int d\vec{p}_1 \dots d\vec{p}_N g_N = \xi_N \quad \text{donc: } \int d\vec{p} E_p(p) = 1, \quad \int d\vec{p} C(\vec{x}, \vec{p}) = \xi(\vec{x}).$$

$$2^{\text{e}} \text{ équation de Vlasov est: } \frac{d\vec{f}}{dt} + \frac{\vec{p}}{m} \cdot \frac{d\vec{f}}{d\vec{x}} + \frac{e}{m} \int d\vec{z} d\vec{p}' f(\vec{z}, \vec{p}') \frac{\vec{z} - \vec{x}}{|\vec{z} - \vec{x}|^3} \cdot \frac{d}{d\vec{p}'} (\vec{z}, \vec{p}') = 0$$

$$\rho(\vec{x}) = \int d\vec{p} f, \quad \bullet \langle f(\vec{x}, \vec{p}_1) - f(\vec{x}_N, \vec{p}_N) \rangle_c = \vec{p}^N g_N(\vec{x}_1, \vec{p}_1; \dots; \vec{x}_N, \vec{p}_N)$$

Donc dans la limite petite échelle, $\xi_{N+1} \gg \xi_N$, $g_{N+1} \gg g_N$, on obtient la hiérarchie BBGKY.

$$\frac{d\vec{g}_N}{dt} + \sum_{i=1}^N \frac{\vec{p}_i}{m} \cdot \frac{d\vec{g}_N}{d\vec{x}_i} + \frac{e\vec{p}}{m} \int d\vec{x}_{N+1} d\vec{p}_{N+1} \sum_{i=1}^N \frac{\vec{x}_{N+1} - \vec{x}_i}{|\vec{x}_{N+1} - \vec{x}_i|^3} \cdot \frac{d\vec{g}_{N+1}}{d\vec{p}_i} (\vec{x}_i, \vec{p}_i; \dots; \vec{x}_N, \vec{p}_N; \vec{x}_{N+1}, \vec{p}_{N+1}) = 0$$

On peut essayer de substituer le modèle hiérarchique dans cette hiérarchie.

$$N=2, \quad \int d\vec{p}_1 d\vec{p}_2 d\vec{p}_3 = \int d\vec{p}_3 d\vec{p}_{12} d\vec{p}_{23}, \dots \quad \text{on a en intégrant } \int d\vec{p}_3 :$$

$$\frac{dC_{12}}{dt} + \frac{\vec{p}_{12}}{m} \cdot \frac{dC_{12}}{d\vec{x}_{12}} + Q_3 \frac{e\vec{p}}{m} \int d\vec{x}_3 \left(\frac{\vec{x}_{31}}{|\vec{x}_{31}|^3} - \frac{\vec{x}_{32}}{|\vec{x}_{32}|^3} \right) \cdot \frac{d}{d\vec{p}_{12}} \left[(\xi_{23} + \xi_{31}) C_{12} + \langle C_{23} C_{31} \rangle \right] = 0$$

$\Leftrightarrow = \int \vec{p} \approx \vec{p}_{12}$ fixé :

$$\langle C_{23} C_{31} \rangle = \int d\vec{p}_{23} G_{23}(\vec{p}_{23}) G_{31}(-\vec{p}_{12} - \vec{p}_{23})$$

$$\text{car: } \vec{p}_{31} = \vec{p}_3 - \vec{p}_1 = \vec{p}_3 - \vec{p}_2 + \vec{p}_2 - \vec{p}_1 = -\vec{p}_{23} - \vec{p}_{12}.$$

On intègre sur le moment \vec{p}_{12} ce qui donne l'éq. de conservation des paires:

$$\frac{\partial \xi_{12}}{\partial t} + \frac{1}{2\vec{x}_{12}^2} \cdot \int d\vec{p}_{12} \frac{\vec{p}_{12}}{a^2} C_{12} = 0.$$

Si on prend l'éq. à 3 pts, N=3, et on intègre sur tous les moments sauf \vec{p}_{12} :

$$Q_3^2 \left((\xi_{23} + \xi_{31}) \left(\frac{\partial C_{12}}{\partial t} + \frac{\vec{p}_{12}}{a^2} \cdot \frac{\partial C_{12}}{\partial \vec{x}_{12}} \right) + \frac{\partial \langle C_{23} C_{31} \rangle}{\partial t} \right) +$$

$$\frac{\partial E_3}{\partial t} Q_3 [C_{12} C_{23} + C_{23} C_{31} + C_{31} C_{12}] + \left(\frac{\vec{p}_1}{a^2} \cdot \frac{\partial}{\partial \vec{x}_1} + \frac{\vec{p}_2}{a^2} \cdot \frac{\partial}{\partial \vec{x}_2} + \frac{\vec{p}_3}{a^2} \cdot \frac{\partial}{\partial \vec{x}_3} \right) E_3 Q_3 [C_{12} C_{23} + C_{23} C_{31} + C_{31} C_{12}]$$

$$+ \frac{\partial \vec{p}}{\partial t} \int d\vec{x}_4 d\vec{p}_4 \left(\frac{\vec{x}_4 - \vec{x}_1}{|\vec{x}_4 - \vec{x}_1|^3} \cdot \frac{\partial}{\partial \vec{p}_1} + \dots + \frac{\vec{x}_4 - \vec{x}_3}{|\vec{x}_4 - \vec{x}_3|^3} \cdot \frac{\partial}{\partial \vec{p}_3} \right) \left\{ E_4 \right\} Q_4^A (C_{12} \xi_{23} C_{31} + \dots) + Q_4^* (C_{12} C_{13} C_{14} + \dots) \} = 0$$

$$Q_3 \left[\frac{\partial C_{12}}{\partial t} (\xi_{23} + \xi_{31}) + C_{12} \frac{\partial}{\partial t} (\xi_{23} + \xi_{31}) + \frac{\partial}{\partial t} \langle C_{23} C_{31} \rangle + \frac{\vec{p}_{12}}{a^2} \cdot \frac{\partial C_{12}}{\partial \vec{x}_{12}} (\xi_{23} + \xi_{31}) + C_{12} \frac{\partial}{\partial \vec{x}_{23}} \int d\vec{p}_{23} \frac{\vec{p}_{23}}{a^2} C_{23} \right.$$

$$+ C_{12} \frac{\partial}{\partial \vec{x}_{31}} \cdot \int d\vec{p}_{31} \frac{\vec{p}_{31}}{a^2} C_{31} \} + \frac{\partial}{\partial \vec{x}_{23}} \cdot \frac{\langle \vec{p}_{23} C_{23} C_{31} \rangle}{a^2} + \frac{\partial}{\partial \vec{x}_{31}} \cdot \frac{\langle \vec{p}_{31} C_{23} C_{31} \rangle}{a^2} \]$$

$$+ \frac{\partial \vec{p}}{\partial t} \int d\vec{x}_4 \left(\frac{\vec{x}_{41}}{|\vec{x}_{41}|^3} - \frac{\vec{x}_{42}}{|\vec{x}_{42}|^3} \right) \cdot \frac{\partial}{\partial \vec{p}_{12}} \left\{ Q_4^A [\xi_{23} \xi_{34} C_{12} + (1 \leftrightarrow 2, 3 \leftrightarrow 4) + \xi_{23} \xi_{41} C_{12} + (1 \leftrightarrow 2) \right.$$

$$+ \xi_{41} \langle C_{23} C_{31} \rangle + (1 \leftrightarrow 2, 3 \leftrightarrow 4) + \langle C_{23} C_{31} C_{41} \rangle + (1 \leftrightarrow 2)] + Q_4^* [\xi_{13} \xi_{41} C_{12} + (1 \leftrightarrow 2)$$

$$+ \xi_{34} \langle C_{32} C_{31} \rangle + (3 \leftrightarrow 4)] \} \right\}$$

où on a utilisé l'équation de conservation des paires.

Dans la limite $\vec{x}_1 \rightarrow \vec{x}_2$, on a: $\xi_{23} \rightarrow \xi_{31}$, $C_{32} \ll C_{ij}$; $i, j = 1, 2, 4$, donc:

$$2Q_3 \xi_{31} \left(\frac{\partial C_{12}}{\partial t} + \frac{\vec{p}_{12}}{a^2} \cdot \frac{\partial C_{12}}{\partial \vec{x}_{12}} \right) + (2Q_4^A + Q_4^*) \xi_{31} \frac{\partial \vec{p}}{\partial t} \int d\vec{x}_4 \left(\frac{\vec{x}_{41} - \vec{x}_{42}}{|\vec{x}_{41} - \vec{x}_{42}|^3} \right) \cdot \frac{\partial}{\partial \vec{p}_{12}} [(\xi_{24} + \xi_{14}) C_{12} + \langle C_{24} C_{41} \rangle] = 0$$

on a aussi utilisé: $C_{34} \approx C_{31}$ et C_{32} car seuls les $\vec{x}_{41} \approx \vec{x}_1, \vec{x}_{42}$ contribuent à l'attraction gravitationnelle différentielle entre 1 et 2.

En comparant avec l'équation pour les paires obtenue à partir de N=2 on obtient:

$$\underline{2Q_3^2 = 2Q_4^A + Q_4^*}$$

En fait, ce résultat signifie que la fonction de corrélation à 2 pts d'une galaxie avec une binnaire ξ_{gb} est égale à la corrélation d'une particule avec un triplet ξ_{gt} .

En effet :

$$\xi_{gb} = 2Q_3 \xi \quad \text{et} \quad \xi_{gt} = (2Q_4^* + Q_4) \frac{\xi}{Q_3}.$$

En effet, la probabilité conditionnelle de trouver une particule en \vec{r}_3 sachant qu'il y a une binnaire en (\vec{r}_1, \vec{r}_2) est :

$$\begin{aligned} \bar{P} \text{d}\vec{r}_3 (1 + \xi_{gb}) &= \lim_{\vec{r}_1 \rightarrow \vec{r}_2} \bar{P} \text{d}\vec{r}_3 \frac{1 + \xi_{12} + \xi_{23} + \xi_{31} + Q_3 (\xi_{12} \xi_{23} + \xi_{23} \xi_{31} + \xi_{31} \xi_{12})}{1 + \xi_{12}} \\ &= \bar{P} \text{d}\vec{r}_3 (1 + 2Q_3 \xi_{gt}) \end{aligned}$$

De même :

$$\bar{P} \text{d}\vec{r}_4 (1 + \xi_{gt}) \approx \lim_{\vec{r}_1 \vec{r}_2 \vec{r}_3 \rightarrow \vec{r}} \bar{P} \text{d}\vec{r}_4 \frac{3Q_4 \xi_{12}^2 \xi_{14} + 3Q_4^* \xi_{12}^2 \xi_{14}}{3Q_3 \xi_{12}^2} = \bar{P} \text{d}\vec{r}_4 \frac{2Q_4^* + Q_4}{Q_3} \xi_{14}.$$

Donc la contrainte obtenue à partir de BBGKY pour $N=2,3$ est : $\xi_{gb} = \xi_{gt}$.

L'origine est claire : l'évolution d'une binnaire en présence d'une galaxie lointaine est déterminée par la gravité des particules proches de la binnaire. Ces galaxies proches de la binnaire forment un triplet serré. Donc, si on compare l'évolution d'une binnaire en présence d'une galaxie lointaine, ~~le terme dérivé de BBGKY~~ par rapport à l'évolution d'une binnaire normale (moyenne), le terme dérivé dans BBGKY est multiplié par ξ_{gb} alors que le terme de gravité est multiplié par ξ_{gt} . Il faut donc $\xi_{gb} = \xi_{gt}$.

Cela vient de la forme séparable dans l'espace des phases de g_N qui donne la même forme pour les fonctions à 2 pts de l'espace des phases indépendamment de particules supplémentaires.

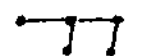
Cela ne tiendrait pas si la dépendance en vitesse dépendait des galaxies supplémentaires.

Au lieu de considérer l'évolution d'une binnaire en présence d'une galaxie lointaine on peut considérer une binnaire en présence d'un N -triplet lointain.

On a alors :

$$\xi_{BB} = \xi_{NN} \quad \xi_{NB} = \xi_{NT}$$

En particulier, si $N=2$: ~~$\xi_{BB} = \frac{\xi_{NT}}{2}$~~ $4Q_4^2 = \frac{\xi_{BB}}{\xi} = \frac{\xi_{NT}}{\xi} = \frac{4Q_5^2 + 2Q_3^2}{Q_3}$

Q_5^F : graphe en F: 

De même, pour un N -triplet en présence d'un M -triplet lointain on a:

$$\xi_{BB} = \xi_{NM} \quad N \geq 2, M \geq 1 : \quad \xi_{NN} = \xi_{MM}$$

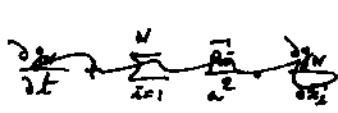
Donc on a que 3 corrélations possibles:

$$\xi = \xi_{BB}, \quad \xi_{NB} = \xi_{BB} = \xi_{N,N} = \xi_{NN}, \quad \xi_{NT} = \xi_{BB} = \xi_{N,N} = \xi_{NN} = \dots = \xi_{M,M} = \dots = \xi_{MM}$$

Donc toutes les corrélations ξ_{NN} sont égales à ξ , $\xi_{NB} = 2Q_3\xi$ ou $\xi_{NB} = 4Q_4^2\xi$. $M \geq 2, N \geq 2$.

Par conséquent, Q_3 et Q_4^2 sont arbitraires à ce stade mais tous les autres coefficients sont déterminés comme fonction de Q_3 et Q_4^2 .

On peut aussi voir ce résultat directement sur BOGKY ou à partir du viriel.

 à petite échelle à l'équilibre $v^2 \sim \frac{GM}{R} \sim g\rho R^2$, donc dans les éq. du mot on obtient:

$$\langle v_{NN}^2 \rangle \xi_{NN} \sim r^2 \xi_{NN} \quad v_{NN}: vitesse relative entre N -triplet et N -triplet.$$

Or du fait de la forme séparable de g_N on a $\langle v_{NN}^2 \rangle = C^{\frac{1}{2}} / N, N$ donc $\xi_{NB} \sim \xi_{NN}$ indépendant de M et N .

Le problème est que c'est en contradiction avec les données numériques et les observations qui montrent que les objets rares massifs sont ont une fonction de corrélation beaucoup plus grande que la fonction de corrélation de la matière ξ .

Donc ce modèle séparable dans l'espace des phases ne marche pas.

41

Tout ailleurs, si on suppose que: $\tilde{x}_1 \rightarrow \tilde{x}_2, c_{12} \rightarrow \xi_{12} S_2(\tilde{p}_{12})$
 on obtient à partir de la Eq. BBGKY pour $N=3$ le résultat: $Q_4^+ = 0$.
 Donc $Q_4^+ = Q_3^2$.

On peut montrer alors que seuls les graphes "snake" ont $Q_N^+ \neq 0$ et:

$$\underline{Q_N^+ = Q_3^{N-2}}$$

Comme il y a $\frac{N!}{2}$ diagrammes "snake" on obtient: $S_N \sim \frac{N!}{2} Q_3^{N-2}$.

Note: cela implique pour $\varphi(y)$ une singularité en $y_3 \sim \frac{1}{Q_3}$.

De manière générale, les paramètres coefficients S_N augmentent vite avec N dans ce genre de modèle car il y a N^{N-2} arbres étiquetés. Donc dans le cas du modèle hiérarchique dégénéré où: $Q_N^\alpha = Q_N$ on a: $\underline{S_N \sim N^{N-2} Q_N}$.

Note que dans le modèle d'arbres dégénéré, les Q_N doivent satisfaire à plusieurs contraintes. Ainsi, Eschky-Schwartz donne:

$$\langle p_R^M p_R^N \rangle \leq \langle p_R^{2n} \rangle^{1/2} \langle p_R^{2n} \rangle^{1/2} \text{ soit: } (S_{n+n} \bar{F}^{M+N-1})^2 \leq S_{2n} \bar{F}^{2n-1} S_{2n} \bar{F}^{2n-1}$$

$$\text{donc: } S_{n+n}^2 \leq S_{2n} S_{2n}, \text{ soit:}$$

$$\underline{\left((M+N)^{M+N-2} Q_{n+n} \right)^2 \leq (2n)^{2n-2} Q_{2n} (2n)^{2n-2} Q_{2n}} \quad Q_2 = 1.$$

$$\text{avec } M = \frac{3}{2}, N = \frac{1}{2}, \text{ on a: } 1 \leq 3 Q_3 \text{ soit } \underline{Q_3 > \frac{1}{3}}.$$

2

VII - Liste de références :

- Halo models of large scale structure, Cooray & Sheth, astro-ph 0206508
- Non-linear gravitational clustering - scaling exponents, Vallenaras, AA 347, 757 (1999)
- Evolution of the cosmological density distribution function, Vallenaras & Manohi (2004)
- A new approach to gravitational clustering, Vallenaras, AA 427, 23 (2004)
- Dynamics of gravitational clustering II, Vallenaras, AA 382, 412 (2002)
- IV, Vallenaras, AA 382, 450 (2002)
- Analytic model for galaxy and dark matter clustering, Seljak, astro-ph 0001493
- An analytic model for the spatial clustering of dark matter halos, Mo & White, MNRAS 282, 347 (1996)
- Reconstructing the primordial spectrum, Hamilton et al., ApJ 374, L1, 1991
- Non-linear evolution of cosmological power spectra, Peacock & Dodelson, MNRAS 280, L13 (1996)
- Extended perturbation theory, Colombi et al., MNRAS 287, 241 (1997)
- Hypereextended cosmological perturbation theory, Scoccimarro & Frieman, ApJ 520, 35 (1999)
- Galaxy N-point correlation functions, Fag, ApJ 277, L5, (1984)
- On hierarchical solutions to BBGKY, Hamilton, ApJ, 332, 67, (1988)
- Scale-invariant matter distribution, I, Balian & Schaeffer, AA 220, 1, (1983)
- II, , AA 226, 373 (1983)
- Weak lensing shear and aperture mass, Manohi et al., MNRAS 350, 77 (2004)
- Construction of the t-point pdf of May, Bernardean & Vallenaras, AA 364, 1 (2000)
- Halo correlations, Bernardean & Schaeffer, AA 349, 157 (1999)
- The non-linear evolution of rare events, Bernardean, ApJ 427, 51 (1994)
- Large scale structure of the universe ..., Bernardean et al., Physics Reports (2001)
- Galaxy correlations, Bernardean & Schaeffer, AA 255, 1, (1992)
- Statistical mechanics of gravitating systems, Padmanabhan, astro-ph 0206131
- Excursion set mass functions, Bond et al., ApJ 379, 440 (1991)
- BBKS, ApJ 304, 15 (1986)

- 43.
- An excursion set model., Sheth, MNRAS 300, 1052 (1999)
Ellipsoidal collapse., Sheth et al., MNRAS 323, 1 (2001)
An excursion set model - ellipsoidal collapse., Sheth & Tormen, MNRAS 323, 11 (2002)
Using the Schrödinger eq., Wiclow & Kaiser, ApJ 416, L77 (1993)
Test-bed simulations., Davies & Wiclow, ApJ 485, 484 (1997)
A wave-mechanical approach., Coles & Spencer, astro-ph 0212433
The large-scale structure of the universe., Peebles, Princeton Univ. Press, (1980)